# (11) EP 3 461 565 A1

(12)

## **EUROPÄISCHE PATENTANMELDUNG**

(43) Veröffentlichungstag:

03.04.2019 Patentblatt 2019/14

(51) Int Cl.:

B07B 7/083 (2006.01)

(21) Anmeldenummer: 18203588.1

(22) Anmeldetag: 07.04.2017

(84) Benannte Vertragsstaaten:

AL AT BE BG CH CY CZ DE DK EE ES FI FR GB GR HR HU IE IS IT LI LT LU LV MC MK MT NL NO PL PT RO RS SE SI SK SM TR

Benannte Erstreckungsstaaten:

**BA ME** 

Benannte Validierungsstaaten:

MA MD

(30) Priorität: 11.04.2016 DE 102016106588

(62) Dokumentnummer(n) der früheren Anmeldung(en) nach Art. 76 EPÜ:

17719819.9 / 3 442 721

(71) Anmelder: NEUMANN & ESSER PROCESS TECHNOLOGY GMBH 52531 Übach-Palenberg (DE)

(72) Erfinder:

- GALK, Joachim 52538 Gangelt-Birgden (DE)
- MINGERS, Thomas
   52531 Übach-Palenberg (DE)
- GIERSEMEHL, Marc 47798 Krefeld (DE)
- (74) Vertreter: Mehler Achler
   Patentanwälte Partnerschaft mbB
   Bahnhofstraße 67
   65185 Wiesbaden (DE)

### Bemerkungen:

Diese Anmeldung ist am 31-10-2018 als Teilanmeldung zu der unter INID-Code 62 erwähnten Anmeldung eingereicht worden.

## (54) SICHTER

(57) Es wird ein Sichter (1) beschrieben, der ein Gehäuse (2), einen Aufgabekegel (20) und einen rotierbaren Dispergierteller (30) aufweist, auf dessen Oberseite (31) über den Umfang des Dispergiertellers (30) verteilte Dispergierschaufeln (40) angeordnet sind. Der Aufgabekegel (20) ist beabstandet zum Dispergierteller (30) am Gehäuse (2) angeordnet. Die Trennschärfe des Sichters (1) ist gegenüber den herkömmlichen Sichtern verbessert.

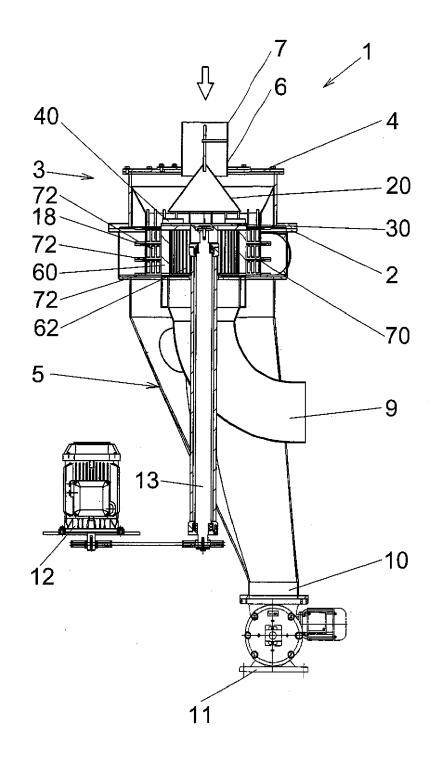


Fig. 1

EP 3 461 565 A1

### Beschreibung

[0001] Die Erfindung betrifft einen Sichter gemäß den Merkmalen des Oberbegriffs des Anspruchs 1.

[0002] Die DE 38 23 380 C2 offenbart einen solchen Sichter mit einem Streuteller, auf den das zu behandelnde Gut zentral aufgebracht wird. Über den Umfang des Streutellers sind Schlagelemente auf der Oberseite sowie radial nach außen vorspringende Schlagelemente starr oder frei pendelnd unterhalb des Außenrandes befestigt. Der Streuteller wird unabhängig vom Stabkorb angetrieben. Auf dem Streuteller ist im Zentrum ein Aufgabekegel angeordnet, der die Aufgabe hat, das herabfallende Aufgabegut auf den Streuteller umzulenken. Aufgrund der Zentrifugalkräfte rutscht das Aufgabegut an den Rand des Streutellers, wobei dem Aufgabegut gleichzeitig eine Bewegungskomponente in Drehrichtung des Streutellers vermittelt wird. Am Rand des Streutellers trifft das Aufgabegut auf die auf dem Streuteller angeordneten Schlagelemente, so dass die Aggregate an dieser Stelle zerkleinert werden.

**[0003]** Nach dem Herabfallen von dem Streuteller treffen die Partikel des Aufgabegutes auf nach außen vorstehende weitere Schlagelemente des Streutellers.

[0004] Auch am Umfang des Stabkorbes können Schlagelemente befestigt sein. Mittels Leitblechen, die an der Innenseite des Sichtergehäuses oberhalb der Sichtzone zwischen Stabkorb und Leitschaufelkranz angeordnet sind, soll das Gut konzentriert in den Schlagkreis der Schlagelemente des Stabkorbes geleitet werden. Trotz verschiedener Maßnahmen ist die Desagglomerisation nicht zufriedenstellend.

[0005] Die DE 43 02 857 A1 offenbart eine Reinigungsvorrichtung zum Reinigen eines Korngemenges, die einen Streuteiler aufweist, an dem sowohl eine Haube als auch ein Kegelstumpf befestigt ist, der wiederum einen Kegel trägt. Schlagelemente sind nicht vorgesehen.

[0006] Die WO 2014/124899 A1 beschreibt einen Sichter, der in der Sichtzone zwischen dem Luftleitsystem und dem Rotorkorb Einbauten aufweist, die bewirken sollen, das agglomerierte Aufgabegutteilchen zumindest teilweise desagglomeriert werden. Damit soll eine effizientere Sichtung möglich werden. Die Einbauten sind derart angeordnet, dass sie sich parallel zur Rotationsachse des Rotorkorbs erstrecken oder einen Winkel mit der Rotorachse bilden. Die Einbauten, die auch durch Endbereiche der Leitschaufeln des Luftleitsystem gebildet werden können, bilden Engpässe oder Einschnürungen in Umfangsrichtung der Sichtzone.

**[0007]** Der DE 199 61 837 A1 sind ebenfalls Einbauten in Gestalt von in die Sichtzone ragende Leitklappen zu entnehmen, die sich parallel zur Achse des dynamischen Rotorteils erstrecken.

[0008] Die EP 1 529 568 B1 offenbart einen Zyklonsichter, bei dem der Strömungsquerschnitt in Strömungsrichtung des Produktes vor dem Abscheidebereich an mindestens einer Stelle eingeschnürt ist. Hierzu kommen Blenden, wie z.B. Konusringe zum Einsatz, die

in der Sichtzone an mehreren Stellen eingebaut sein können.

**[0009]** Es ist Aufgabe der Erfindung, einen Sichter bereitzustellen, dessen Trennschärfe höher ist als bei Sichtern des Standes der Technik.

[0010] Unter Trennschärfe oder Trennschärfegrad

wird das Verhältnis  $K = \frac{X_{25}}{X_{75}}$  verstanden, wobei  $x_{25}$ 

und  $x_{75}$  die Partikelgrößen der Partikel bezeichnen, deren Anteil 25 % bzw. 75 % beträgt.

**[0011]** Diese Aufgabe wird mit einem Sichter gemäß den Merkmalen des Anspruchs 1 und des Anspruchs 7 gelöst.

**[0012]** Der Sichter gemäß des Anspruchs 1 ist dadurch gekennzeichnet, dass der Aufgabekegel beabstandet zum Dispergierteller am Gehäuse angeordnet ist.

**[0013]** Dadurch, dass der Aufgabekegel ortsfest am Gehäuse angeordnet ist, besitzen die Partikel des Aufgabegutes und insbesondere die Agglomerate des Aufgabegutes nur eine vertikale und eine radiale Bewegungskomponente.

**[0014]** Wenn die Agglomerate vom Aufgabekegel herunterrutschen, werden die Agglomerate von den Dispergierschaufeln des sich unter dem Aufgabekegel drehenden Dispergiertellers erfasst und zerschlagen. Die Dispergierschaufeln sind auf der Oberseite des Dispergiertellers über den Umfang des Dispergiertellers verteilt angeordnet.

[0015] Vorzugsweise sind vier bis zwanzig Dispergierschaufeln vorgesehen. Je geringer die Winkelgeschwindigkeit ω des Dispergiertellers ist, desto größer ist die Anzahl der Dispergierschaufeln zu wählen.

**[0016]** Die Schlagwirkung der Dispergierschaufeln ist deutlich größer als beim Stand der Technik, weil die Agglomerate beim Auftreffen auf die Dispergierschaufeln noch keine Bewegungskomponente in Drehrichtung des Dispergiertellers aufweisen. Die Trennschärfe des Sichters wird erheblich verbessert, weil nicht nur eine deutlich größere Menge der Agglomerate desagglomeriert wird, sondern die Agglomerate auch nahezu vollständig in ihre ursprünglichen Einzelpartikel zerlegt werden.

[0017] Vorzugsweise weist der Aufgabekegel einen Öffnungswinkel  $\beta$  mit  $45^{\circ} \le \beta \le 90^{\circ}$  auf. Es handelt sich hierbei um einen spitzen Kegel, der den Vorteil hat, dass die Steigung der Kegelfläche groß ist und die Partikel des Aufgabegutes in ihrer vertikalen Bewegung dadurch nur wenig abgebremst werden, bevor sie auf die Dispergierschaufeln auftreffen.

[0018] Vorzugsweise weist der Aufgabekegel an seinem Kegelrand einen Radius  $R_1$  auf, für den gilt  $0.5 \times R_2 < R_1 < R_2$ , wobei  $R_2$  den Radius des Dispergiertellers bezeichnet. Bei Einhaltung dieser Beziehung ist sichergestellt, dass sich der Kegelrand des Aufgabekegels möglichst weit bis zum Rand des Dispergiertellers erstreckt und somit die Partikel des Aufgabegutes auf einen Bereich des Dispergiertellers und der Dispergierschaufeln treffen, der eine entsprechend hohe Bahngeschwin-

digkeit v aufweist.

[0019] Der auf die Agglomerate einwirkende Impuls p = m x v ist umso größer, je größer die Bahngeschwindigkeit v ist. Es ist deshalb von Vorteil, den Radius  $R_2$  des Dispergiertellers möglichst groß zu wählen, weil dann auch der Radius  $R_1$  des Kegelrandes innerhalb des Bereichs  $0.5 \times R_2$  bis  $R_2$  groß gewählt werden kann. Die Bahngeschwindigkeit v am radial außenliegenden Ende der Dispergierschaufeln liegt vorzugsweise im Bereich von 40 m/s bis 150 m/s, insbesondere im Bereich von 80 m/s bis 150 m/s.

**[0020]** Andererseits darf R<sub>1</sub> nicht allzu groß gewählt werden, damit die vom Aufgabekegel herabfallenden Agglomerate aufgrund ihrer Radialgeschwindigkeit nicht über den Rand des Dispergiertellers hinausschießen. Es ist deshalb bevorzugt, R<sub>1</sub> < 0,9 x R<sub>2</sub>, insbesondere R<sub>1</sub> <0,8 x R<sub>2</sub> zu wählen.

**[0021]** Vorzugsweise ist der Radius  $R_3$  des Innenumfangs der Dispergierschaufeln  $R_3 \le R_1$ . Der Innenumfang der Dispergierschaufeln bezeichnet den Kreis, auf dem die radial zum Mittelpunkt des Dispergiertellers weisenden Innenflächen der Dispergierschaufeln liegen.

**[0022]** Damit wird sichergestellt, dass sich der Aufgabekegel mit seinem Kegelrand auch bis in den Bereich der Dispergierschaufeln erstreckt, so dass die Partikel und somit auch die Agglomerate beim Herabfallen vom Aufgabekegel möglichst zuerst von den Dispergierschaufeln erfasst werden, bevor sie auf die Oberseite des Dispergiertellers auftreffen.

[0023] Vorzugsweise ist der Abstand  $A_1$  zwischen dem Kegelrand des Aufgabekegels und den Dispergierschaufeln des Dispergiertellers  $0 < A_1 \le 30$  mm und beträgt besonders bevorzugt 5 mm bis 30 mm, insbesondere 5 mm bis 25 mm. Der Vorteil eines geringen Abstands  $A_1$  besteht darin, dass die Agglomerate des Aufgabegutes unmittelbar nach dem Verlassen des Aufgabekegels von den Dispergierschaufeln erfasst und zerschlagen werden.

**[0024]** Vorzugsweise weist jede Dispergierschaufel eine Dispergierfläche auf, die senkrecht zur Rotationsrichtung des Dispergiertellers angeordnet ist. Dies hat den Vorteil, dass eine maximale Krafteinwirkung auf die auftreffenden Agglomerate des Aufgabegutes sichergestellt ist

**[0025]** Vorzugsweise sind die Dispergierschaufeln an der Oberseite des Dispergiertellers aufragende und sich in radiale Richtungen erstreckende Platten.

**[0026]** Vorzugsweise ist am Gehäuse ein Prallring vorgesehen, der über den Umfang verteilte, in Richtung des Dispergiertellers vorstehende Prallelemente aufweist. Der Prallring ist vorzugsweise ortsfest am Gehäuse angeordnet. Vorzugsweise sind 24 oder mehr als 24 Prallelemente vorgesehen.

**[0027]** Die Partikel des Aufgabegutes, die vom Prallring aufgrund der Zentrifugalkräfte nach außen geschleudert werden, treffen nicht nur gegen den Prallring, sondern aufgrund ihrer Bewegungskomponente in Drehrichtung des Drehtellers auch gegen die Prallelemente.

Der Vorteil des Prallrings mit den Prallelementen besteht darin, dass Agglomerate, die möglicherweise noch nicht vollständig durch die Dispergierschaufeln des Dispergiertellers in die Einzelpartikel zerlegt worden sind, in dieser zweiten Stufe der Dispergierung wirkungsvoll zerkleinert werden können. Die Desagglomerierung wird dadurch nochmals verbessert.

**[0028]** Der Abstand  $A_2$  zwischen den Prallelementen und dem Dispergierteller beträgt vorzugsweis  $0 < A_2 \le 30$  mm, insbesondere  $10 \text{ mm} \le A_2 \le 30 \text{ mm}$ .

[0029] Die Prallelemente sind derart ausgebildet und angeordnet, dass sie mindestens den Dispergierschaufeln gegenüberliegen. Dies bedeutet, dass die vertikale Erstreckung der Prallelemente so groß ist, dass sie mindestens der Höhe der Dispergierschaufeln entspricht. Damit wird sichergestellt, dass möglichst viele Partikel des Aufgabegutes, die den Dispergierteller verlassen, von den Prallelementen erfasst werden.

[0030] Vorzugsweise weist der Sichter ein Sichterradschaufeln aufweisendes Sichterrad und ein Leitschaufeln aufweisendes Luftleitsystem für die Zuführung von Sichtluft auf, wobei zwischen dem Sichterrad und dem Luftleitsystem ein ringförmiger Sichtraum angeordnet ist.
[0031] Derartige Sichter werden auch als Abweiseradsichter bezeichnet.

[0032] Vorzugsweise sind die Leitschaufeln in den Sichtraum hineinragende, sich in vertikale Richtung erstreckende Leitbleche.

[0033] Die Aufgabe wird auch mit einem Sichter mit den Merkmalen des Anspruchs 7 gelöst.

**[0034]** Dieser Sichter weist nicht den erfindungsgemäßen Dispergierteller und Aufgabekegel, sondern nur das erfindungsgemäße Luftleitsystem auf.

[0035] Vorzugsweise ist der Dispergierteller am Sich-

terrad befestigt. Der Vorteil besteht darin, dass der Dispergierteller keinen eigenen Antrieb benötigt und vom Sichterrad angetrieben wird. Der Dispergierteller hat somit dieselbe Winkelgeschwindigkeit wie das Sichterrad. [0036] Durch das rotierende Sichterrad wird im Sichtraum eine Kreisströmung erzeugt, wobei das Aufgabegut aufgrund der Zentrifugalkraft radial nach außen getragen

aufgrund der Zentrifugalkraft radial nach außen getragen wird. Gleichzeitig wird durch die durch das Luftleitsystem eingebrachte Luft den Partikeln des Aufgabegutes eine Bewegungskomponente in Richtung Sichterrad vermittelt.

**[0037]** Es hat sich gezeigt, dass das Aufgabegut, insbesondere auch das desagglomerierte Aufgabegut vor und im Sichtraum zur Bildung von Strähnen neigt, die die Klassierung beeinträchtigen.

[0038] Unter Strähnen wird eine Anhäufung von Partikeln in einer Gasströmung verstanden, die sich infolge von Entmischung, z. B. durch die Wirkung von Schwerkraft und Zentrifugalkraft bildet. Strähnen haben ihre Ursache in der Überschreitung der Tragfähigkeit des Gases für die Feststoffpartikel. In der Strähne sind somit auch kleinere Partikel enthalten, die bei geringen Feststoffbeladungen sonst mit der Luftströmung in das Feingut gelangen würden.

40

**[0039]** Durch die in den Sichtraum ragenden Leitbleche erfolgt eine gezielte Auflockerung der Strähnen, so dass eine verbesserte Abtrennung insbesondere der allerfeinsten Partikel möglich ist, ohne die übrige Abscheidung zu beeinträchtigen.

**[0040]** Durch die in den Sichtraum ragenden Leitbleche werden nicht nur die Strähnen aufgelöst, sondern es wird den Partikeln des Aufgabegutes auch eine zusätzliche Bewegungskomponente in Richtung Sichterrad verliehen.

[0041] Durch diese Maßnahmen wird die Trennschärfe des Sichters verbessert.

**[0042]** Vorzugsweise weist das Luftleitsystem Luftfenster auf, wobei an mindestens einem Rand der Luftfenster ein Leitblech angeordnet ist.

**[0043]** Das Luftleitsystem weist vorzugsweise eine Ringwand auf, in der die Luftfenster angeordnet sind. Die durch die Luftfenster einströmende Luft wird durch die Leitbleche abgelenkt, wodurch die Strömung in den Sichtraum beeinflusst wird.

[0044] Die Leitbleche erfüllen somit zwei Aufgaben. Sowohl die Partikel des Aufgabegutes als auch die einströmende Sichtluft werden in der gewünschten Weise beeinflusst. Durch den Anstellwinkel  $\gamma$  der Leitbleche können beide Strömungen gezielt eingestellt werden. Der Anstellwinkel  $\gamma$  wird zwischen den Leitblechen in Strömungsrichtung des Partikel-Luft-Gemisches im Sichtraum und des Innenradius  $R_L$  des Luftleitsystems aufgespannt. Vorzugsweise sind die Winkel  $\gamma$  für alle Leitbleche gleich groß.

[0045] Vorzugsweise sind an den gegenüberliegenden Rändern der Luftfenster die Leitbleche angeordnet. Jedes Luftfenster weist somit zwei Leitbleche auf, wodurch der einströmende Luftstrom noch zielgerichteter eingeleitet werden kann. Vorzugsweise sind die Leitbleche zwischen jeweils zwei Luftfenstern derart angeordnet, dass ihre Enden aufeinander zulaufen. Die Leitbleche haben bei dieser Ausführungsform vorzugsweise unterschiedliche Anstellwinkel  $\gamma$ .

**[0046]** Die Enden der Leitbleche sind vorzugsweise beabstandet, d. h. die Enden der Leitbleche berühren sich vorzugsweise nicht.

**[0047]** Vorzugsweise sind jeweils die beiden Leitbleche, die an jedem Luftfenster angeordnet sind, parallel zueinander ausgerichtet. Diese Leitblechpaare bilden einen Luftkanal, der vorzugsweise eine konstante Breite aufweist.

[0048] Vorzugsweise weisen die Leitbleche mit dem Radius R<sub>L</sub> des Luftleitsystems einen Anstellwinkel  $\gamma$  auf, der im Bereich von 30° bis 60° liegt, besonders bevorzugt im Bereich von 40° bis 50° liegt.

**[0049]** Die Leitbleche sind vorzugsweise rechteckige ebene Leitelemente.

[0050] Gemäß einer besonderen Ausführungsform sind die Leitbleche in Richtung zum Sichterrad gekrümmt ausgeführt. Der Anstellwinkel  $\gamma$  des gekrümmten Leitblechs wird zwischen der Tangente T in der Mitte der Außenfläche des Leitblechs und dem Innenradius R<sub>L</sub> des

Luftleitsystems in Strömungsrichtung des Partikel-Luftstroms aufgespannt. Die Strömungsrichtung des Partikel-Luftstroms wird durch die Drehrichtung des Sichterrades definiert. Die gekrümmte Ausführungsform der Leitbleche hat den Vorteil, dass der Partikel-Luftstrom noch wirkungsvoller auf das Sichterrad gelenkt wird.

**[0051]** Vorzugsweise weisen die Leitbleche einen einzigen Krümmungsradius  $R_4$  auf.

[0052] Gemäß einer weiteren Ausführungsform ist vorgesehen, dass die Leitbleche derart gekrümmt sind, dass der Krümmungsradius  $R_4$  in Richtung Sichterrad abnimmt.

**[0053]** Für den Krümmungsradius gilt vorzugsweise 5 mm  $\leq R_4 \leq$  2000 mm.

**[0054]** Vorzugsweise weist das Luftleitsystem mindestens einen Konusring mit einem in den Sichtraum ragenden, eine erste konusförmige Fläche aufweisendes Partikelleitelement auf.

[0055] Der Partikel-Luftstrom besitzt nicht nur eine horizontale Bewegungskomponente, sondern aufgrund der Gravitation auch eine vertikale Bewegungskomponente. Der Strömungsquerschnitt des Sichtraums in vertikaler Bewegungsrichtung wird durch den Konusring eingeschnürt, wodurch der Partikel-Luftstrom durch die konusförmige Fläche des Partikelleitelementes in Richtung Sichterrad umgelenkt wird. Auch diese Maßnahme trägt zu einer Verbesserung der Trennschärfe des Sichters hei

**[0056]** Vorzugsweise ist die konusförmige Fläche an der Oberseite des Partikelleitelementes angeordnet und bildet mit einer vertikalen Achse  $L_V$  einen Winkel  $\alpha$  mit  $10^\circ < \alpha < 90^\circ$ , besonders bevorzugt  $20^\circ < \alpha < 80^\circ$ .

[0057] Vorzugsweise beträgt der Abstand  $A_4$  zwischen dem Innenumfang des Luftleitsystems und dem Außenumfang des Sichterrades  $A_4 = \frac{1}{2} \cdot D_S$  (V-1), wobei  $V = D_L/D_S$  mit  $1,01 \leq V \leq 1,2$  ist und  $D_S$  den Außendurchmesser des Sichterrades und  $D_L$  den Innendurchmesser des Luftleitsystems bezeichnet. Es hat sich gezeigt, dass die Klassierung und Abtrennung des Restfeinstaubanteils zusätzlich verbessert werden kann, wenn für diesen Abstand  $A_4$ , der die Breite des Sichtraumes beschreibt, bestimmte Grenzwerte eingehalten werden, die durch das Verhältnis  $V = D_L/D_S$  definiert werden. Vorzugsweise beträgt das Verhältnis V der Durchmesser  $D_L/D_S$  1,05  $\leq$   $V \leq$  1,1.

**[0058]** Vorzugsweise gilt für den Abstand  $A_3$  des Innenrandes der Partikelleitelemente und/oder der Enden der Leitbleche zum Innenumfang des Sichterrades 0,005 x  $A_4 \le A_3 \le 0.5$  x  $A_4$ .

[0059] Vorzugsweise weist das Luftleitsystem mindestens einen umlaufenden horizontalen Luftschlitz auf. Dieser horizontale Luftschlitz kann sich teilweise oder über den gesamten Umfang des Luftleitsystems erstrecken. Dadurch ergeben sich höhere Radialgeschwindigkeiten der Sichterluft von bis zu 30 m/s, mit denen das Aufgabegut zum Sichterrad geführt wird.

[0060] Beispielhafte Ausführungsformen der Erfindung werden nachfolgend anhand der schematischen

40

Zeichnungen näher erläutert. Es zeigen:

Figur 1	einen Sichter im Vertikalschnitt,
Figur 2	einen Vertikalschnitt durch den perspektivisch dargestellten oberen Bereich des Sichters,
Figur 3	eine Draufsicht auf den Sichter,
Figur 4	einen Vertikalschnitt durch Kegel und Dispergierteller des Sichters gemäß der Figur 1,
Figur 5	einen Ausschnitt aus Figur 4 in vergrößerter Darstellung,
Figur 6	einen Horizontalschnitt durch ein Sichterrad und ein Luftleitsystem gemäß einer Ausführungsform,
Figur 7	eine perspektivische Darstellung eines Luftleitsystems gemäß einer weiteren Ausführungsform,
Figur 8a	die Draufsicht auf das in Figur 7 gezeigte Luftleitsystem mit eingezeichnetem Sichterrad,
Figuren 8h o	
Figuren 8b,c	die Draufsicht auf ein Luftleitsystem mit Sichterrad gemäß zwei Ausführungsfor- men mit gekrümmten Leitblechen,
Figur 9	Sichterrad gemäß zwei Ausführungsfor-
	Sichterrad gemäß zwei Ausführungsformen mit gekrümmten Leitblechen, einen vergrößerten Ausschnitt aus Figur
Figur 9	Sichterrad gemäß zwei Ausführungsformen mit gekrümmten Leitblechen, einen vergrößerten Ausschnitt aus Figur 8a, eine weitere Ausführungsform eines Luftleitsystems mit Sichterrad in Drauf-
Figur 9 Figur 10	Sichterrad gemäß zwei Ausführungsformen mit gekrümmten Leitblechen, einen vergrößerten Ausschnitt aus Figur 8a, eine weitere Ausführungsform eines Luftleitsystems mit Sichterrad in Draufsicht, einen Schnitt durch ein Luftleitsystem gemäß einer weiteren Ausführungsform
Figur 9 Figur 10 Figur 11	Sichterrad gemäß zwei Ausführungsformen mit gekrümmten Leitblechen, einen vergrößerten Ausschnitt aus Figur 8a, eine weitere Ausführungsform eines Luftleitsystems mit Sichterrad in Draufsicht, einen Schnitt durch ein Luftleitsystem gemäß einer weiteren Ausführungsform mit einem Konusring, einen Schnitt durch einen der in Figur

[0061] In der Figur 1 ist ein Sichter 1 im Vertikalschnitt dargestellt. Der Sichter 1 weist ein Gehäuse 2 auf, das ein Einfüllrohr 6 aufweist und sich in einen oberen Ge-

häuseteil 3 und einen unteren Gehäuseteil 5 unterteilt. Im oberen Gehäuseteil 3, der im Wesentlichen zylindrisch ausgebildet ist, befindet sich ein Sichterrad 60 mit Sichterradschaufeln 62 sowie ein Luftleitsystem 70 mit drei Leitschaufelkränzen 72. Zwischen dem Sichterrad 80 und dem Luftleitsystem 70 befindet sich der Sichtraum 18. Am Sichterrad 60 ist ein Dispergierteller 30 befestigt, der dadurch vom Sichterrad 60 angetrieben wird.

[0062] Der Dispergierteller 30 weist an seiner Oberseite 31 (siehe auch Figur 2) im Randbereich Dispergierschaufeln 40 auf, die aus im wesentlichen rechteckigen Metallplättchen bestehen, die von der Oberseite 31 des Dispergiertellers 30 nach oben aufragen und sich bis zum Rand 33 des Dispergiertellers 30 erstrecken. Über dem Dispergierteller ist ein Aufgabekegel 20 ortsfest am Gehäuse 2 befestigt.

[0063] Der obere Gehäuseteil 3 weist einen Sichterdeckel 4 auf, in dem das Einfüllrohr 6 mit der Einfüllöffnung 7 für das Aufgabegut angeordnet ist. Das Aufgabegut wird durch das Einfüllrohr 6 in den Sichter 1 eingefüllt und trifft dort auf den Aufgabekegel 20.

[0064] Im unteren Gehäuseteil 5 ist die Antriebswelle 13 für das Sichterrad 60 angeordnet, die am unteren Ende von einer Antriebseinrichtung 12 angetrieben wird. Der untere Gehäuseteil 5 weist ferner noch ein Auslassrohr mit der Auslassöffnung 9 zum Austragen des Feingutes auf. Am unteren Ende des konischen unteren Gehäuseteils 5 ist ein Sauggebläse 11 und der Auslass 10 für das Grobgut angeordnet.

[0065] Die Figur 2 zeigt einen Detailschnitt durch den oberen Bereich des Gehäuses 3.

**[0066]** Der Aufgabekegel 20 ragt mit seiner Kegelspitze 26 in das Einfüllrohr 6 hinein und ist dort mittels eines Befestigungselementes 22 an dem Einfüllstutzen 6 befestigt.

[0067] Der Dispergierteller 30 ist von einem Prallring 50 umgeben, der an seiner Innenfläche 52 Prallelemente 54 aufweist, die in Richtung Dispergierteller 30 von der Innenfläche 52 abstehen. Die Prallelemente 54 sind verteilt über die Innenfläche 52 des Prallrings 50 verteilt angeordnet und erstrecken sich in vertikaler Richtung mindestens über die gesamte Höhe der Dispergierschaufeln 40. Am Prallring 50 schließt sich nach oben eine konische Wand 58 an.

45 [0068] Das unter dem Dispergierteller 30 angeordnete Sichterrad 60 weist eine Vielzahl von vertikal ausgerichteten Sichterradschaufeln 62 auf und ist von einem Luftleitsystem 70 mit insgesamt drei Leitschaufelkränzen 72 umgeben.

[0069] In der Figur 3 ist die Draufsicht auf den in Figur 1 gezeigten Sichter 1 dargestellt, der über zwei tangential am Gehäuseteil 3 angeordnete Sichtluftzuführungen 8a,b verfügt. Es sind insgesamt vierundzwanzig Prallelemente 54 an dem Prallring 50 angeordnet. Die Prallelemente 54 sind beabstandet zum Dispergierteller 30 angeordnet. Der Dispergierteller 30 trägt an seiner Oberseite 31 sechs Dispergierschaufeln 40, die sich teilweise bis unter den Aufgabekegel 20 erstrecken. Der Innen-

umfang der Dispergierschaufeln 40 ist durch die gestrichelte Kreislinie 44 gekennzeichnet, auf dem die Innenflächen 41 der Dispergierschaufeln 40 liegen. Der entsprechende Radius  $\rm R_3$  des Innenumfangs 44 der Dispergierschaufeln 40 ist ebenso eingezeichnet wie der Radius  $\rm R_1$  des Kegelrandes 24 des Aufgabekegels 20.

[0070] Die Figuren 4 und 5 zeigen vergrößerte Schnitt-darstellungen des oberen Teils des in Figur 2 gezeigten Sichters 1. Der Aufgabekegel 20 weist einen Öffnungswinkel  $\beta$  von ca. 85° auf. Der Aufgabekegel 20 erstreckt sich bis in den Bereich der Dispergierschaufeln 40, so dass das von oben durch das Einfüllrohr 6 eingetragene Aufgabegut 14 unmittelbar den Dispergierschaufeln 40 zugeführt wird. Die Agglomerate im Aufgabegut 14 sind mit dem Bezugszeichen 15 gekennzeichnet. Die Agglomerate 15 ebenso wie die übrigen Partikel des Aufgabegutes 14 werden zuerst von der Dispergierfläche 46 der Dispergierschaufeln 40 erfasst, bevor sie auf die Oberseite 31 des Dispergiertellers 30 auftreffen.

[0071] Aufgrund der Zentrifugalkräfte, die auf die Partikel des Aufgabegutes 14 wirken, werden die Partikel in Richtung Prallring 50 geschleudert, wo sie auf die Prallelemente 54 treffen. Die Radien  $R_1,\,R_2$  und  $R_3$  sind eingezeichnet, wobei zu erkennen ist, dass der Radius  $R_3$  kleiner dem Radius  $R_1$  ist, wobei für den Radius vorzugsweise gilt 0.4 x  $R_2 \le R_3 \le 0.8$  x  $R_2.$  Dadurch wird sichergestellt, dass die Agglomerate 15 des Aufgabegutes 14 beim Verlassen des Aufgabekegels 20 nicht über den Rand 33 des Dispergiertellers 30 hinausschießen, ohne auf die Dispergierschaufeln 40 zu treffen.

**[0072]** Dieser Sachverhalt ist in einer nochmals vergrößerten Darstellung der Figur 5 deutlich zu sehen.

**[0073]** In der Figur 5 ist der Abstand  $A_1$  zwischen dem Kegelrand des Aufgabekegels 20 und der Oberseitenfläche 43 der Dispergierschaufel 40 dargestellt. Ferner ist der Abstand  $A_2$  zwischen der Randfläche 34 des Dispergiertellers und dem Prallelement 56 eingezeichnet. Die Außenfläche 42 der Dispergierschaufel 40 ist gegenüber der Randfläche 34 des Dispergiertellers 30 zurückversetzt.

**[0074]** Das Prallelement 54 erstreckt sich bis unter die Ebene, in der die Unterseite 32 des Dispergiertellers 30 liegt. Die Länge  $L_S$  der Dispergierschaufeln 40 liegt vorzugsweise im Bereich von 0,02 x  $R_2 \leq L_S \leq 0,2$  x  $R_2$ . Die Höhe  $H_S$  liegt vorzugsweise im Bereich von 0,01 x  $R_2 \leq H_S \leq 0,1$  x  $R_2$ .

**[0075]** In der hier gezeigten Ausführungsform beträgt  $A_1 \simeq R_2/6$ . Vorzugsweise beträgt  $A_1 < R_2/2$ .

**[0076]** Für die Höhe  $H_P$  der Prallelemente 54 gilt vorzugsweise  $0.03 \times R_2 \le H_P \le 0.5 \times R_2$ . Die Breite  $B_P$  des Prallelementes 54 ist etwas geringer als die Höhe  $H_S$  der Dispergierschaufel 40.

[0077] Stellvertretend für die Agglomerate ist ein Agglomeratteilchen 15 eingezeichnet, das auf der Kegeloberfläche nach unten rutscht und von der Dispergierfläche 46 erfasst und in seine Einzelpartikel zerlegt wird. Die hierbei entstehenden desagglomerierten Teilchen 16 treffen auf die Prallfläche 56 des Prallelementes 54 und

werden dort weiter desagglomerisiert.

[0078] In der Figur 6 ist die Draufsicht auf ein Sichterrad 60 mit Sichterradschaufeln 62 und ein dazugehöriges Luftleitsystem 70 mit Luftleitschaufeln 73 dargestellt. Der Leitschaufelkranz 72 des Luftleitsystems 70 besitzt einen Innendurchmesser  $D_L$ . Der Außendurchmesser des Sichterrades 60 ist durch  $D_S$  gekennzeichnet. Daraus resultiert eine Breite  $A_4$  des ringförmigen Sichtraumes 18.

[0079] In der Figur 7 ist eine weitere Ausführungsform des Luftleitsystems 70 dargestellt. Das Luftleitsystem 70 weist zwei Ringe 79 auf, zwischen denen eine Ringwand 71 mit Luftfenstern 74 angeordnet ist. Die Luftfenster 74 sind gleichmäßig über den gesamten Umfang der Ringwand 71 angeordnet. In der hier gezeigten Ausführungsform handelt es sich um rechteckige Luftfenster 74, die jeweils am linken Rand 75 Luftleitschaufeln 73 in Form von Leitblechen 76 aufweisen. Diese Leitbleche 76 sind um eine Achse  $L_{\rm SA}$  schwenkbar angeordnet, so dass der Anstellwinkel  $\gamma$ , der in der Figur 9 eingezeichnet ist, gezielt eingestellt werden kann.

[0080] In der Figur 9 ist im Sichtraum 18 durch den Pfeil  $P_2$  die Strömungsrichtung des Partikel-Luftstromes angedeutet, der durch die Rotation des Sichterrades 60 in Richtung des Pfeils  $P_1$  erzeugt wird. Der Winkel  $\gamma$  wird zwischen dem Innenradius  $R_L$  des Luftleitsystems 70 und dem Leitblech 76 aufgespannt.

[0081] In der Figur 8a ist das Luftleitsystem 70 der Figur 7 mit einem Sichterrad 60 kombiniert dargestellt.  $P_1$  gibt die Rotationsrichtung des Sichterrades 60 an. Mit  $P_2$  wird die Strömungsrichtung des Partikel-Luftstroms bezeichnet.

[0082] In der Figur 8b ist eine weitere Ausführungsform dargestellt, in der die Leitbleche 76 gekrümmt ausgeführt sind. Die Leitbleche 76 besitzen einen einheitlichen Krümmungsradius  $R_4$  und sind in Richtung Sichterrad gekrümmt angeordnet. Der Anstellwinkel  $\gamma$  ist durch die Tangente T durch die Mitte des Leitblechs 76 und dem Innenradius des Luftleitsystems 70 gekennzeichnet.

**[0083]** In der Figur 8c ist eine weitere Ausführungsform dargestellt, in der die Leitbleche 76 keinen einheitlichen Krümmungsradius aufweisen, sondern einen sich von außen nach innen verkleinernden Krümmungsradius besitzen. Der Krümmungsradius  $R_6$  am Ende des gekrümmten Leitbleches 76 ist kleiner als der Krümmungsradius  $R_5$ .

[0084] In der Figur 10 ist eine weitere Ausführungsform des Luftleitsystems 70 dargestellt, bei der jeweils an beiden Rändern 75 der Luftfenster 74 gegenüberliegend Leitbleche 77a, 77b angeordnet sind. Die Lufteinströmung ist durch die eingezeichneten Pfeile gekennzeichnet. Während die Leitbleche 77a kurz ausgebildet sind, sind die Leitbleche 77b länger ausgeführt. In der hier gezeigten Ausführungsform sind die benachbarten Leitbleche 77a und 77b zweier Fenster 74 jeweils parallel ausgerichtet, so dass ein Luftkanal mit konstanter Breite geschaffen wird. Die Enden 77c der Leitbleche 77a, 77b berühren sich nicht und sind beabstandet zueinander an-

geordnet.

[0085] In der Figur 11 ist eine weitere Ausführungsform des Luftleitsystems 70 dargestellt, in der drei Leitschaufelkränze 72 übereinander angeordnet sind, wobei zwischen den Ringen 79 benachbarter Leitschaufelkränze 72 jeweils ein Konusring 80 angeordnet ist. Außerdem ist in diesem Luftleitsystem 70 ein horizontaler ringförmiger Luftschlitz 78 vorgesehen, durch den Sichtluft in den Sichtraum 18 eingeleitet wird.

[0086] In der Figur 12 ist ein Konusring 80 im Schnitt dargestellt. Der Konusring 80 besitzt ein Partikelleitelement 82 mit einer ersten konusförmigen Fläche 84 an der Oberseite und einer zweiten konusförmigen Fläche 86 an der Unterseite. Der Neigungswinkel der Fläche 84 zu einer vertikalen Achse  $L_V$  ist mit  $\alpha$  gekennzeichnet. [0087] In der Figur 13 ist das Luftleitsystem 70 zusammen mit einem Sichterrad 60 dargestellt, so dass zu sehen ist, dass die Partikelleitelemente 82 in den Sichtraum 18 hineinragen. Der Abstand  $A_3$  von dem Innenrand 88 der Partikelleitelemente 84 zum Sichterrad ist mit  $A_3$  gekennzeichnet. Weiterhin sind die Durchmesser  $D_L$  und Ds sowie der Abstand  $A_4$  zwischen dem Luftleitsystem 70 und dem Sichterrad 60 eingezeichnet.

[0088] Es wurden Versuche mit einem mineralischen Pulver als Aufgabegut durchgeführt. Die Partikelgrößen des Aufgabegutes betrugen < 50  $\mu$ m, wobei 70 % der Partikel eine Größe < 10  $\mu$ m aufwiesen (d<sub>70</sub> = 10  $\mu$ m). 20 % der Partikel wiesen Partikelgrößen < 3  $\mu$ m auf.

[0089] Dieses Pulver wurde in einem herkömmlichen Sichter ohne erfindungsgemäßen Aufgabekegel und ohne erfindungsgemäßen Dispergierteller klassiert. Die entsprechende Summenverteilungskurve I ist in der Figur 14 dargestellt, in der die kumulative Verteilung  $Q_3$  (x) in Abhängigkeit der Korngröße x aufgetragen ist, wobei  $Q_3$  (x) = (Masse der Teilchen ≤ Partikelgröße x) / (Gesamtmasse aller Partikel) ist (siehe "Fine Grinding System with Impact Classifier Mill and Cyclone Classifier" von Giersemehl und Plihal, Power Handling and Processing Vol. 11, No. 3, July/Sept. 1999). Der Trennschärfegrad κ beträgt κ = 0,51.

[0090] Dasselbe Pulver wurde in einem erfindungsgemäßen Sichter mit dem erfindungsgemäßen Aufgabekegel, Dispergierteller mit Dispergierschaufeln und einem Prallring entsprechend den Figuren 1 bis 5 und einem Luftleitsystem gemäß Figur 6 klassiert.

[0091] Die mit dem erfindungsgemäßen Sichter erhaltene Summenverteilungskurve II ist ebenfalls in der Figur 14 dargestellt. Die Kurve II unterscheidet sich von der Kurve I durch eine verbesserte Trennschärfe mit  $\kappa$  = 0,56 und eine Steigerung der Ausbeute der Partikel mit Partikelgrößen < 3  $\mu$ m. Die Ausbeute für diesen Partikelbereich betrug 7,3 % beim Stand der Technik (Kurve I) und 11,3 % mit dem erfindungsgemäßen Sichter (Kurve II). Dies ist eine Steigerung der Ausbeute um 54,8 %.

**[0092]** Es hat sich gezeigt, dass der erfindungsgemäße Sichter zu einer deutlich besseren Desagglomerisierung führt, was sich im Unterschied der Summenverteilungskurven I und II niederschlägt.

**[0093]** Bei Verwendung eines erfindungsgemäßen Sichters, der zusätzlich das erfindungsgemäße Luftleitsystem gemäß der Figuren 8 und 11 aufweist, kann der Trennschärfegrad  $\kappa$  für dasselbe Aufgabegut auf bis zu  $\kappa = 0.7$  angehoben werden.

#### Bezugszeichenliste

#### **[0094]**

10	[0094	1]
	1	Sichter
	2	Gehäuse
	3	oberer Gehäuseteil
	4	Sichterdeckel
15	5	unterer Gehäuseteil
	6	Einfüllrohr
	7	Einfüllöffnung Aufgabegut
	8a,b	Sichtluftzuführung
	9	Auslassöffnung Feingut
20		
	10	Auslassöffnung Grobgut
	11	Sauggebläse
	12	Antriebseinrichtung
	13	Antriebswelle
25	14	Aufgabegut
	15	Agglomerat
	16	desagglomerierte Partikel
	18	Sichtraum
30	20	Aufgabekegel
	22	Befestigungselement
	24	Kegelrand
	26	Kegelspitze
35	30	Dispergierteller
	31	Oberseite
	32	Unterseite
	33	Rand
	34	Randfläche
40		
	40	Dispergierschaufel
	41	Innenfläche
	42	Außenfläche
	43	Oberseitenfläche
45	44	Innenumfang
	46	Dispergierfläche
	50	Prallring
	52	Innenfläche des Prallrings
50	54	Prallelement
	56	Prallfläche
	58	konische Wand
	60	Sichterrad
55	62	Sichterradschaufel
	70	Luftleitsystem

71

Ringwand

72	Leitschaufelkranz			aufweisenden Luftleitsystem (70) für die Zufüh-
73	Leitschaufeln			rung von Sichtluft, wobei zwischen dem Sichter-
74	Luftfenster			rad (60) und dem Luftleitsystem (70) ein ringför-
75	Rand des Luftfensters			miger Sichtraum (18) angeordnet ist,
76	Leitblech	5		
77a,t	D Leitblech			dadurch gekennzeichnet,
77c	Leitblechende			dass die Leitschaufeln (73) in den Sichtraum (18)
78	Luftschlitz			hineinragende, sich in vertikale Richtung erstrecken-
79	Ring			de Leitbleche (76, 77a,b) sind.
80	Konusring	10		
82	Partikelleitelement		2.	Sichter nach Anspruch 1, dadurch gekennzeich-
84	erste konusförmige Fläche			net, dass ein Dispergierteller (30) am Sichterrad
86	zweite konusförmige Fläche			(40) befestigt ist.
88	Innenrand			
		15	3.	Sichter nach einem der Ansprüche 1 oder 2, da-
$B_P$	Breite Prallelement			durch gekennzeichnet, dass das Luftleitsystem
H <sub>P</sub>	Höhe Prallelement			(70) Luftfenster (74) aufweist und dass an mindes-
H <sub>S</sub>	Höhe Dispergierschaufel			tens einem Rand (75) der Luftfenster (74) ein Leit-
L <sub>S</sub>	Länge Dispergierschaufel			blech (76) angeordnet ist.
-5	_agoopog.o.ooaao.	20		and an extraction
α	Konuswinkel des Konusrings		4	Sichter nach Anspruch 3, dadurch gekennzeich-
	Öffnungswinkel des Aufgabekegels		•	net, dass die Leitbleche (77a,b) an gegenüberlie-
•	Anstellwinkel des Leitblechs			genden Rändern (75) der Luftfenster (74) angeord-
1	A Wiston William God Editologia			net sind.
$D_L$	Innendurchmesser des Luftleitsystems	25		not sind.
D <sub>S</sub>	Außendurchmesser des Sichterrades	20	5.	Sichter nach Anspruch 4, dadurch gekennzeich-
DS	Ausendurchmesser des Sichterrades		J.	net, dass die Leitbleche (77a,b) zwischen jeweils
	vertikale Schwenkachse			zwei Luftfenstern (74) derart angeordnet sind, dass
L <sub>SA</sub>	vertikale Schwenkachse vertikale Achse			
L <sub>V</sub>		30		ihre Enden (77c) aufeinander zulaufen.
Т	Tangente	30	_	Cialitan mark sinom dan Anamii'aka 4 adan 5 da
Б	language diversity of the Louisian sections of		О.	Sichter nach einem der Ansprüche 4 oder 5, da-
$R_L$	Innenradius des Luftleitsystems			durch gekennzeichnet, dass jeweils die beiden
$R_1$	Radius des Kegelrandes			Leitbleche (77a,b), die an jedem Luftfenster (74) an-
$R_2$	Radius des Dispergiertellers			geordnet sind, parallel zueinander ausgerichtet sind.
$R_3$	Radius des Innenumfangs der Dispergierschau-	35	_	
	feln		7.	Sichter nach einem der Ansprüche 1 bis 6, dadurch
$R_4$	Krümmungsradius			gekennzeichnet, dass die Leitbleche (76, 77a,b)
$R_5$	Krümmungsradius			mit dem Radius $R_L$ des Luftleitsystems (70) einen
$R_6$	Krümmungsradius			Anstellwinkel $\gamma$ mit $30^{\circ} \le \gamma \le 60^{\circ}$ aufweisen.
A1	Abstand Aufgabekegelrand - Oberseitenfläche	40		
	Dispergierschaufel		8.	Sichter nach einem der Ansprüche 1 bis 5 oder 7,
$A_2$	Abstand Innenfläche Prallelement - Randfläche			dadurch gekennzeichnet, dass die Leitbleche (76,
	Dispergierteller			77a,b) in Richtung zum Sichterrad (60) gekrümmt
$A_3$	Abstand Ende Leitblech - Außenumfang Sichter-			ausgeführt sind.
	rad	45		
$A_4$	Abstand Innenumfang Luftleitkranz - Außenum-		9.	Sichter nach Anspruch 8, dadurch gekennzeich-
•	fang Sichterrad			net, dass die Leitbleche (76, 77a,b) einen einzigen
				Krümmungsradius R <sub>4</sub> aufweisen.
$P_1$	Rotationsrichtung des Sichterrades			- '
$P_2$	Strömungsrichtung des Partikel-Luftstroms	50	10.	Sichter nach Anspruch 8, dadurch gekennzeich-
_				net, dass die Leitbleche (76, 77a,b) derart gekrümmt
				sind, dass der Krümmungsradius R <sub>4</sub> in Richtung

## Patentansprüche

- 1. Sichter mit
  - einem Sichterradschaufeln (62) aufweisenden Sichterrad (60) und einem Leitschaufeln (73)

- sind, dass der Krümmungsradius  $\mathsf{R}_4$  in Richtung Sichterrad (60) abnimmt.
- 11. Sichter nach einem der Ansprüche 9 oder 10, dadurch gekennzeichnet, dass für den Krümmungs $radius \ R_4 \ gilt \ 5 \ mm \leq R_4 \leq 2000 \ mm.$

12. Sichter nach einem der Ansprüche 1 bis 11, dadurch gekennzeichnet, dass das Luftleitsystem (70) mindestens einen Konusring (80) mit einem in den Sichtraum (18) ragenden, eine erste konusförmige Fläche (84) aufweisendes Partikelleitelement (82) aufweist.

13. Sichter nach Anspruch 12, dadurch gekennzeichnet, dass die erste konusförmige Fläche (84) an der Oberseite des Partikelleitelementes (82) angeordnet ist und mit einer vertikalen Achse  $L_V$  einen Winkel  $\alpha$  mit  $10^\circ < \alpha < 90^\circ$  bildet.

**14.** Sichter nach einem der Ansprüche 1 bis 13, **dadurch gekennzeichnet**, **dass** der Abstand A<sub>4</sub> zwischen dem Innenumfang des Luftleitsystems (70) und dem Außenumfang des Sichterrades (60)

$$A_4 = \frac{1}{2} \cdot D_S(V-1)$$

beträgt, wobei V =  $D_L/D_S$  mit 1,01  $\leq$  V  $\leq$  1,2 und  $D_S$  den Außendurchmesser des Sichterrades (60) und  $D_L$  den Innendurchmesser des Luftleitsystems (70) bezeichnet.

**15.** Sichter nach einem der Ansprüche 1 bis 14, **dadurch gekennzeichnet**, **dass** das Luftleitsystem (70) mindestens einen umlaufenden horizontalen Luftschlitz (78) aufweist.

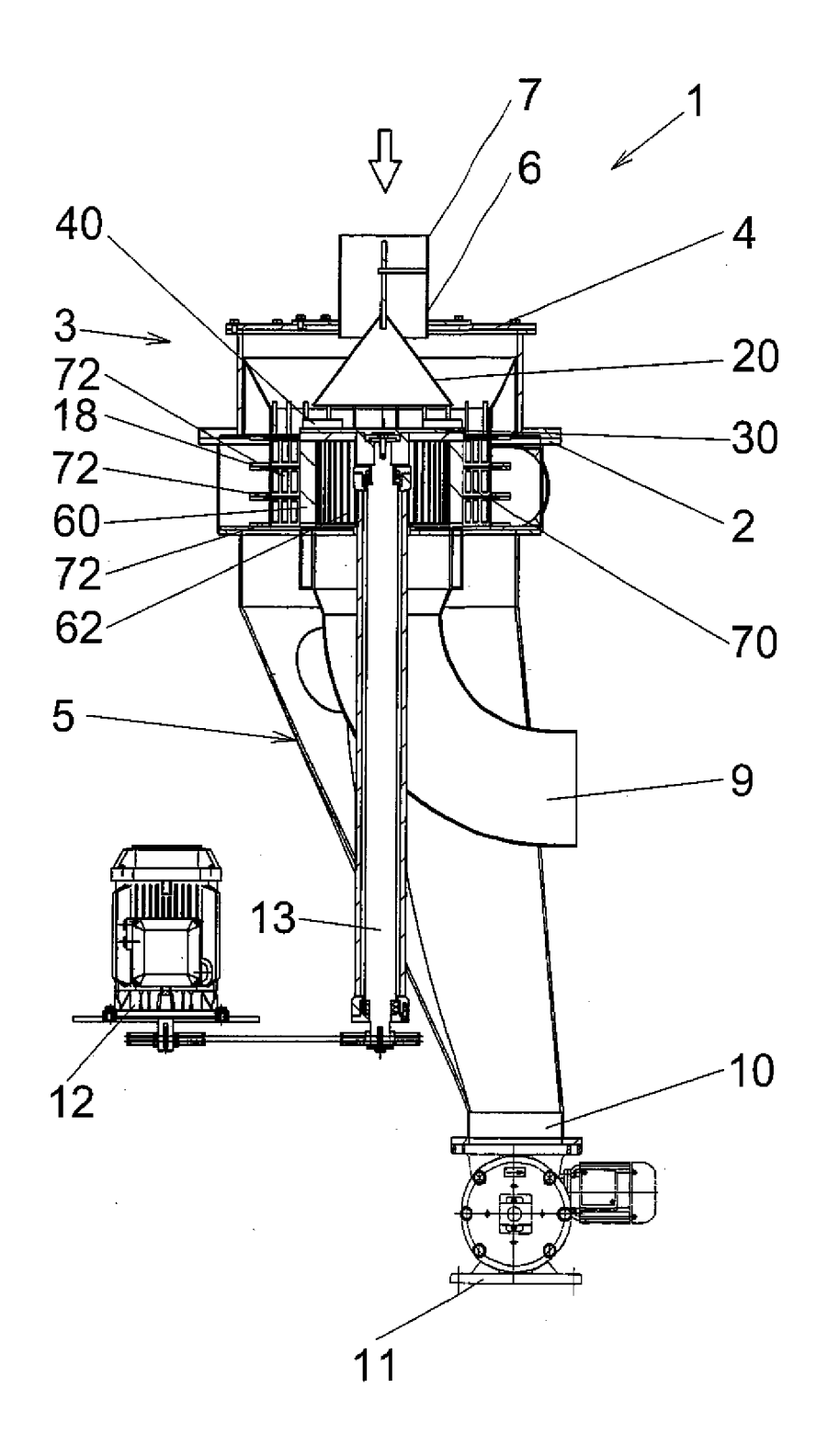


Fig. 1

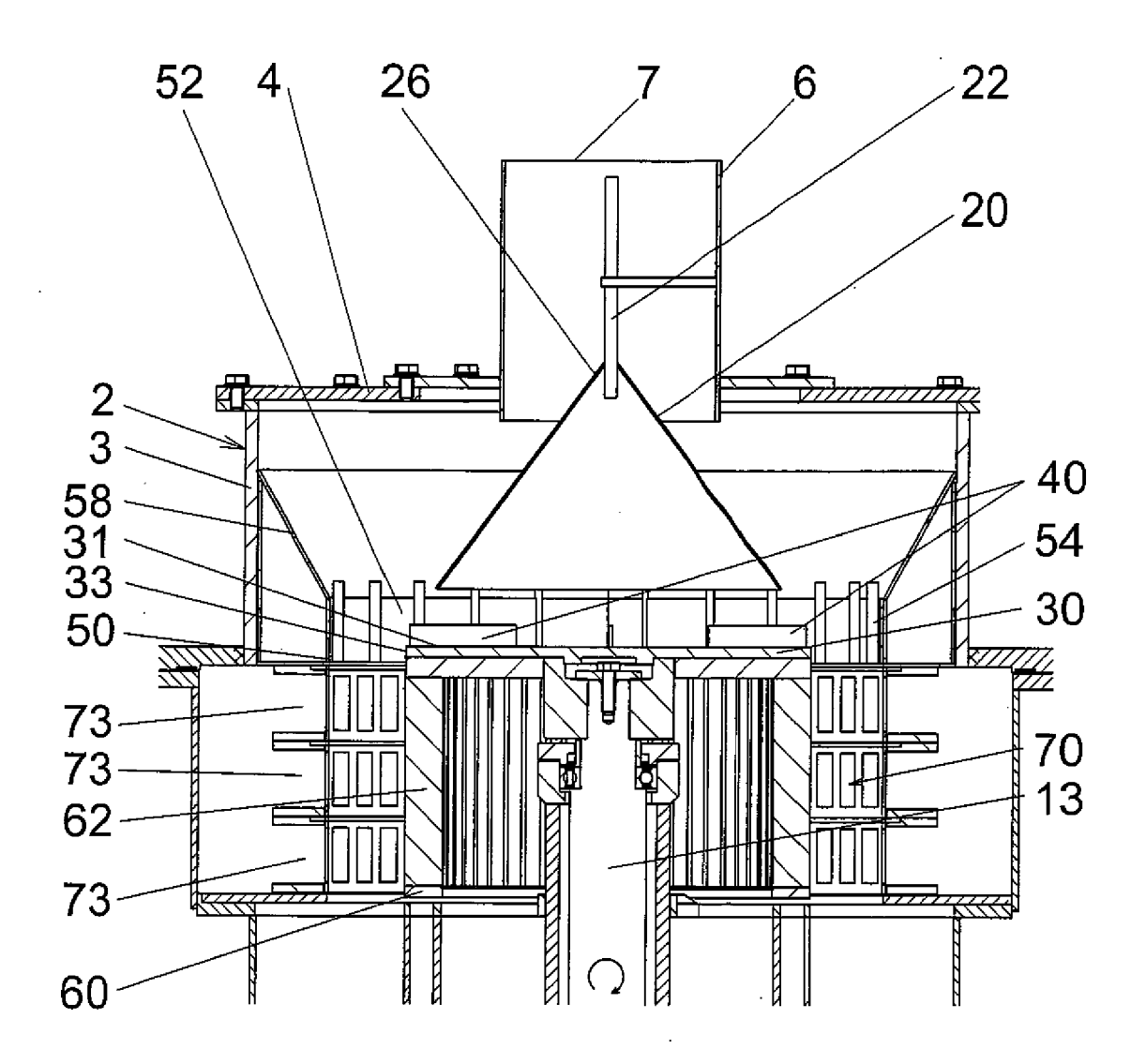


Fig. 2

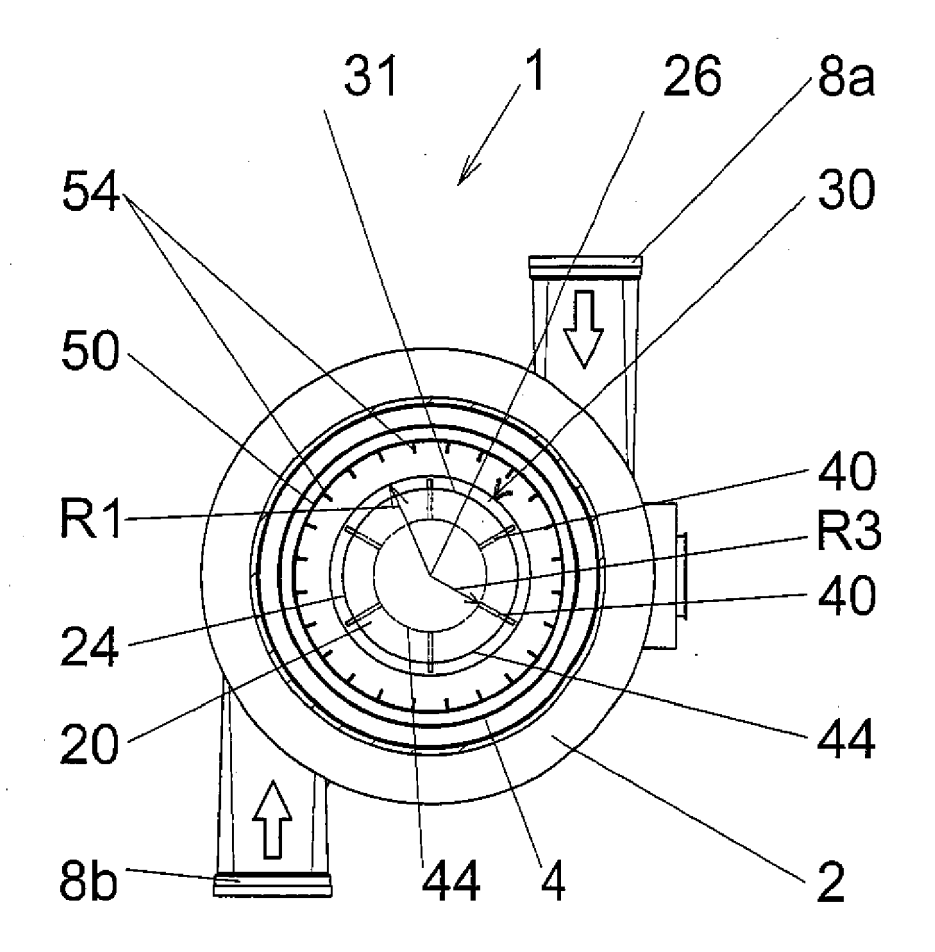


Fig. 3

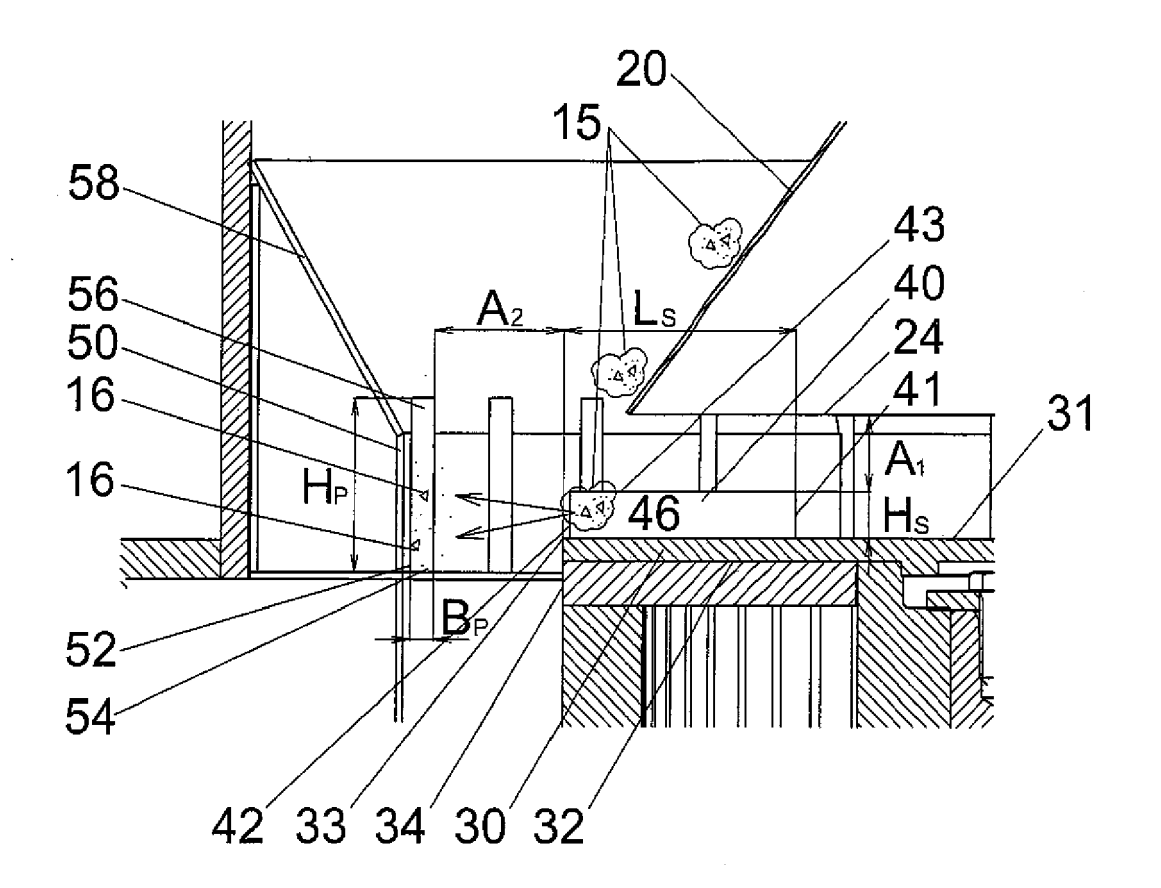


Fig. 5

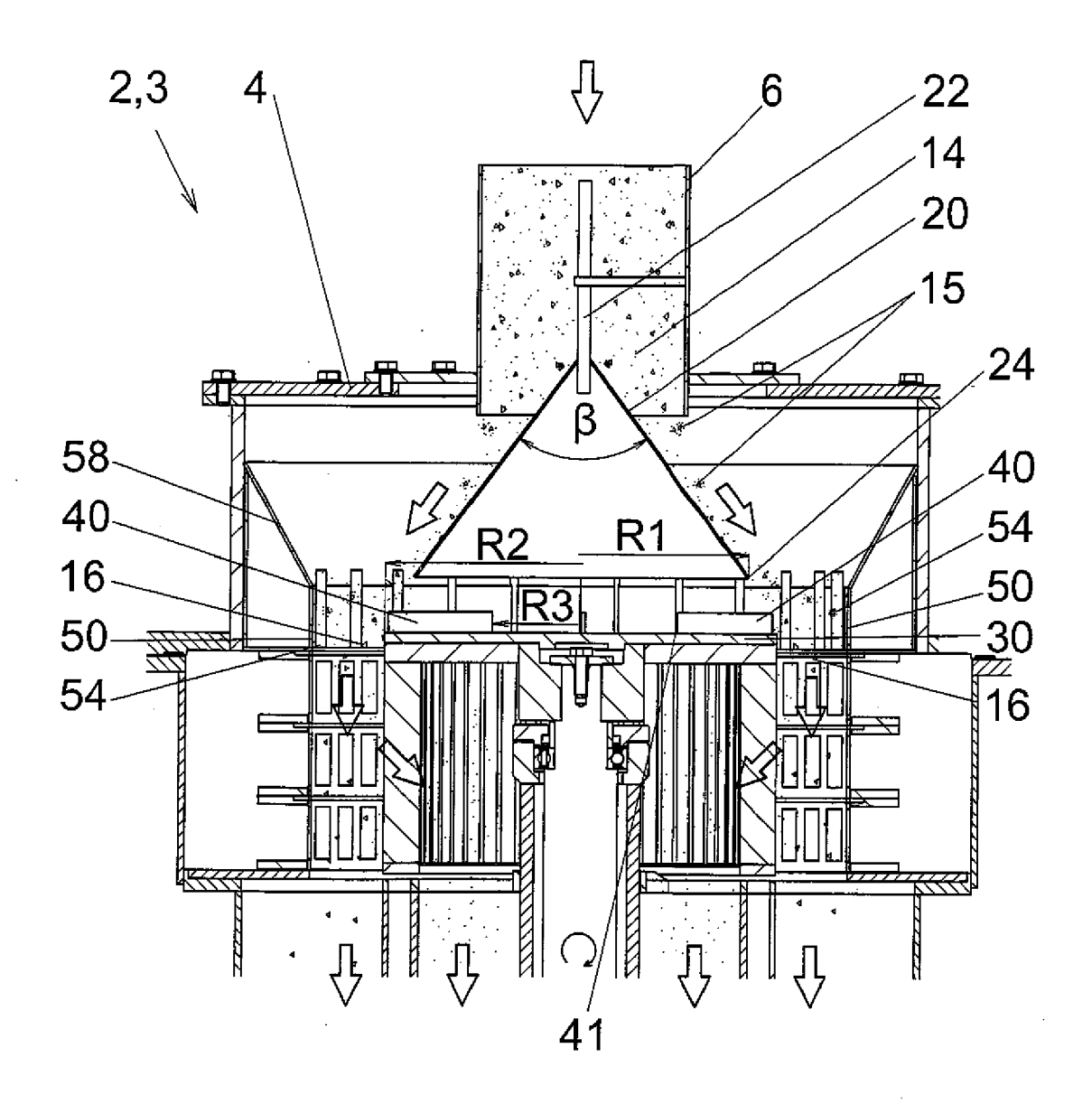


Fig. 4

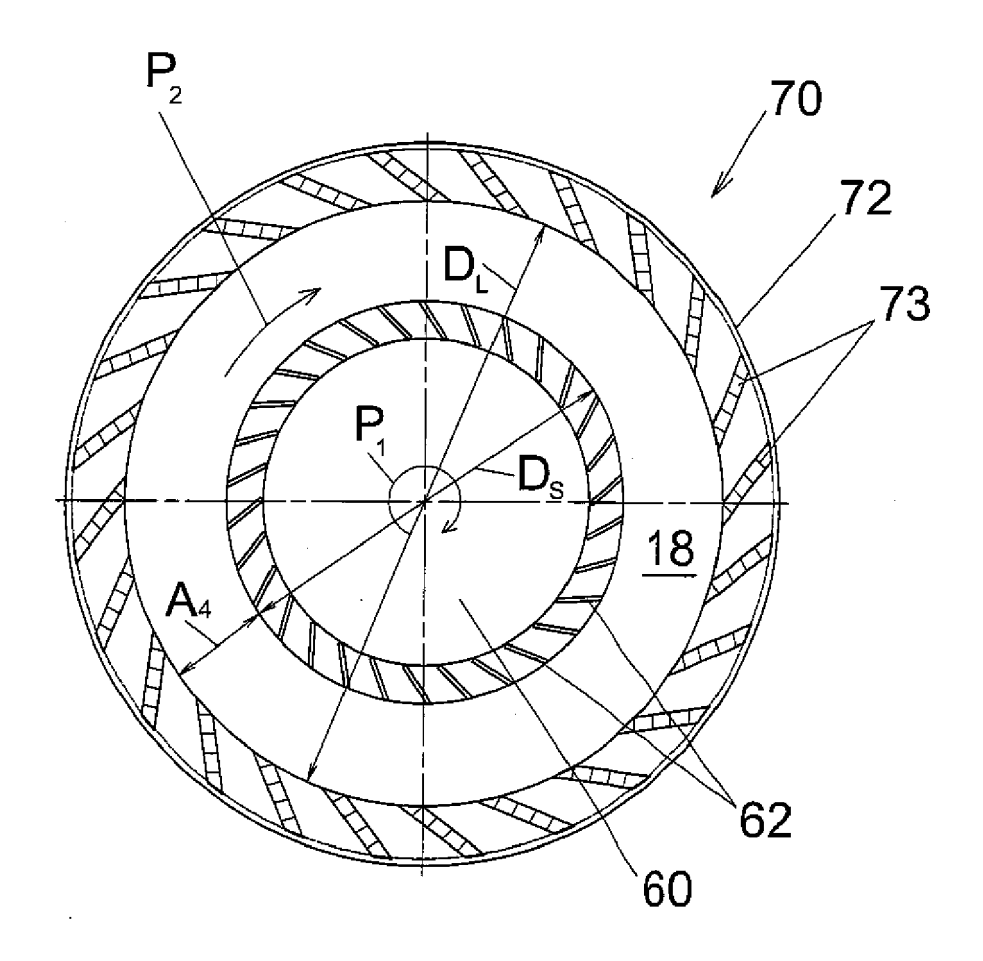


Fig. 6

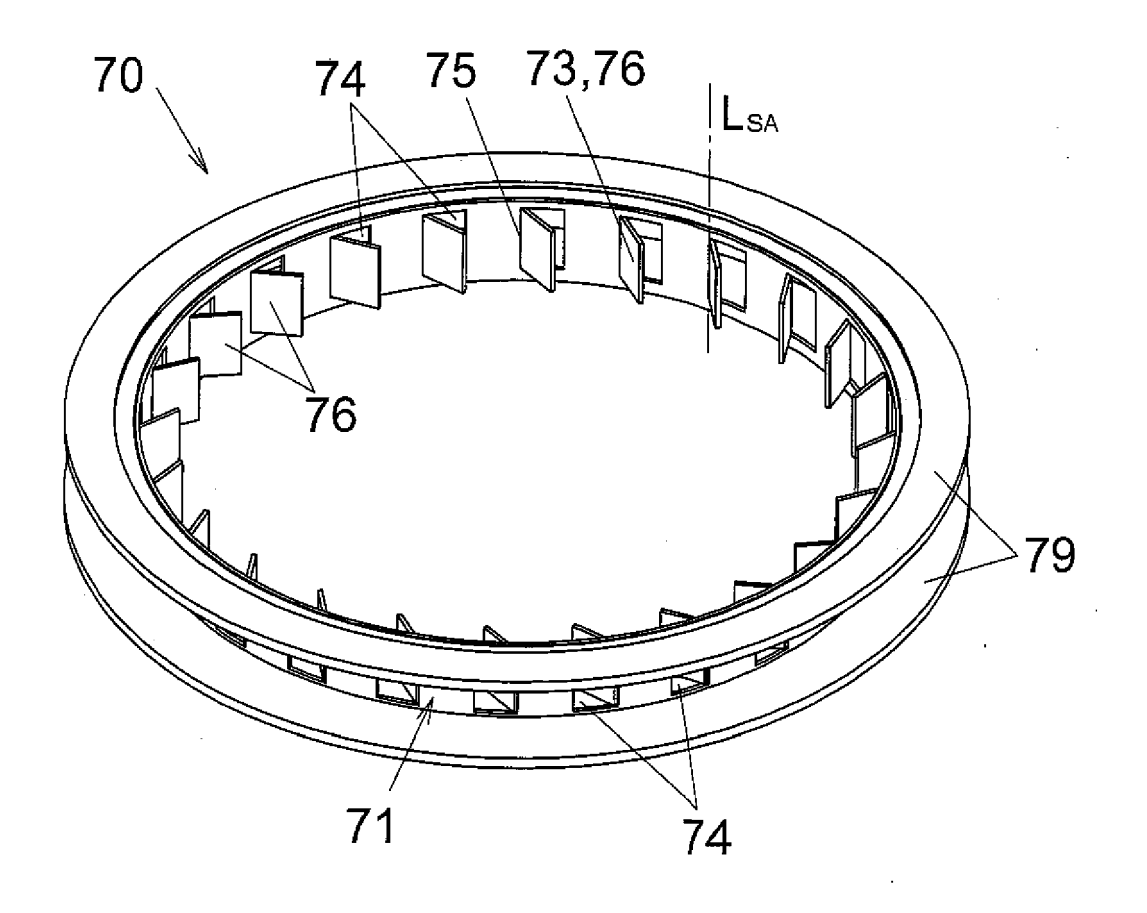


Fig. 7

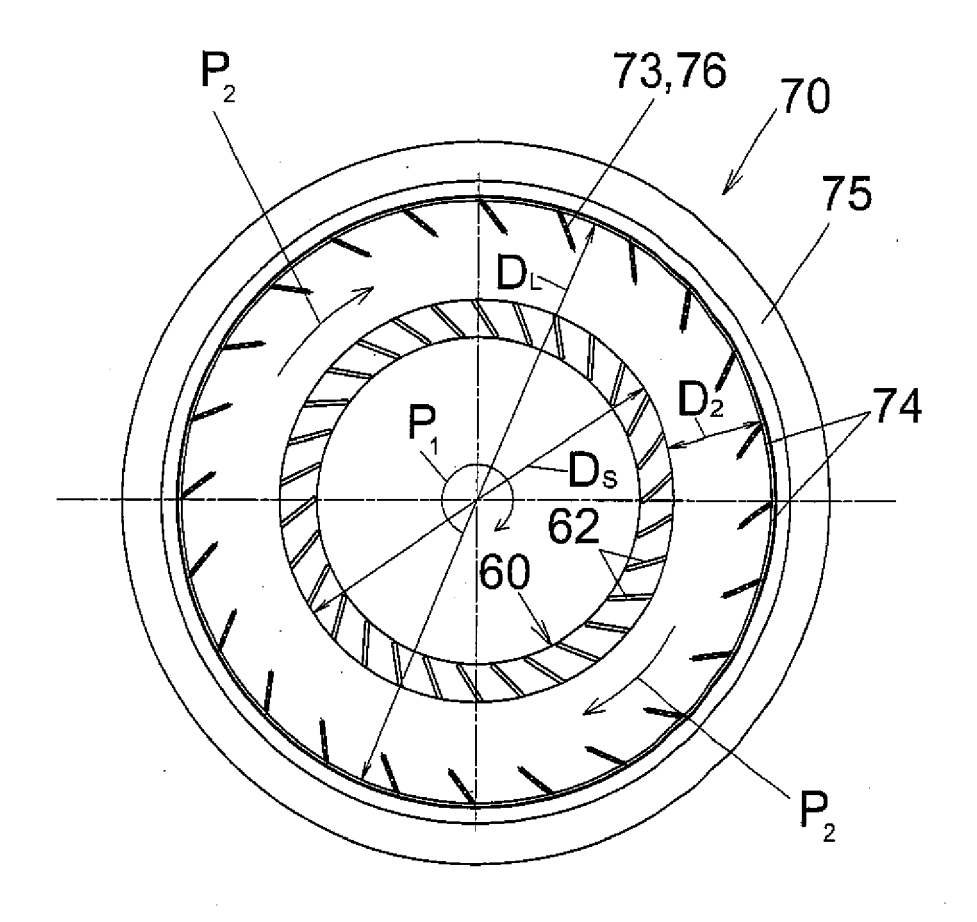


Fig. 8a

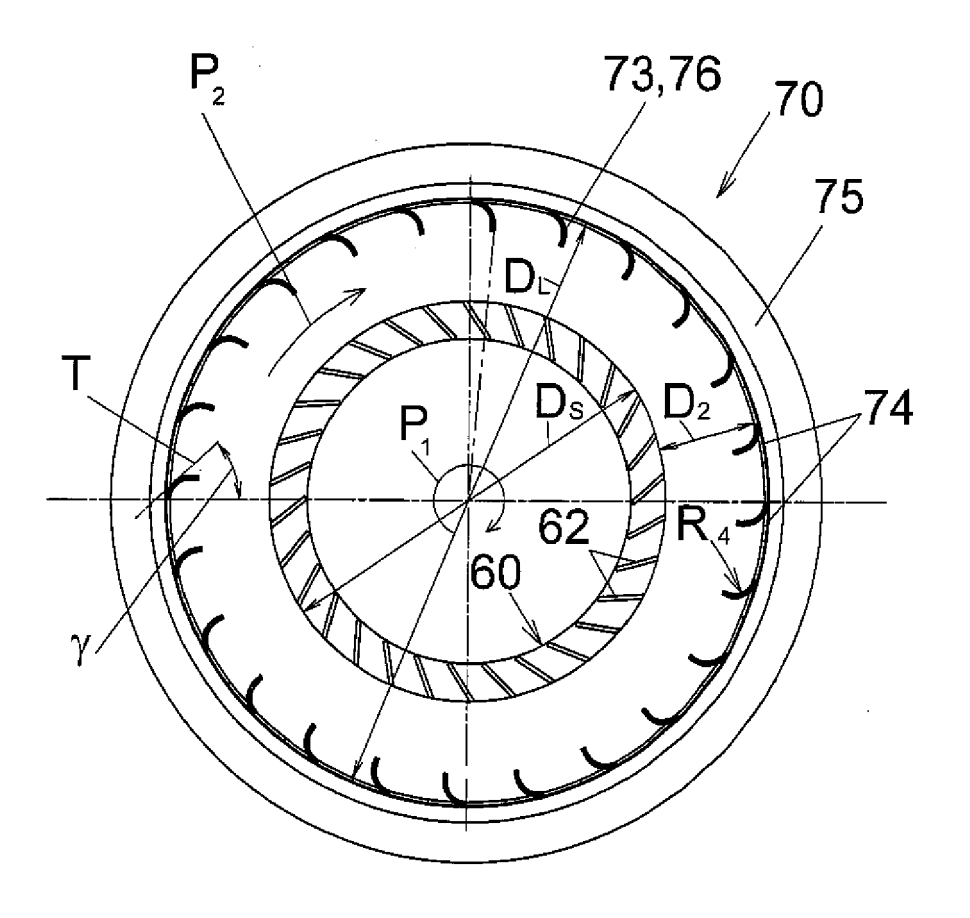


Fig. 8b

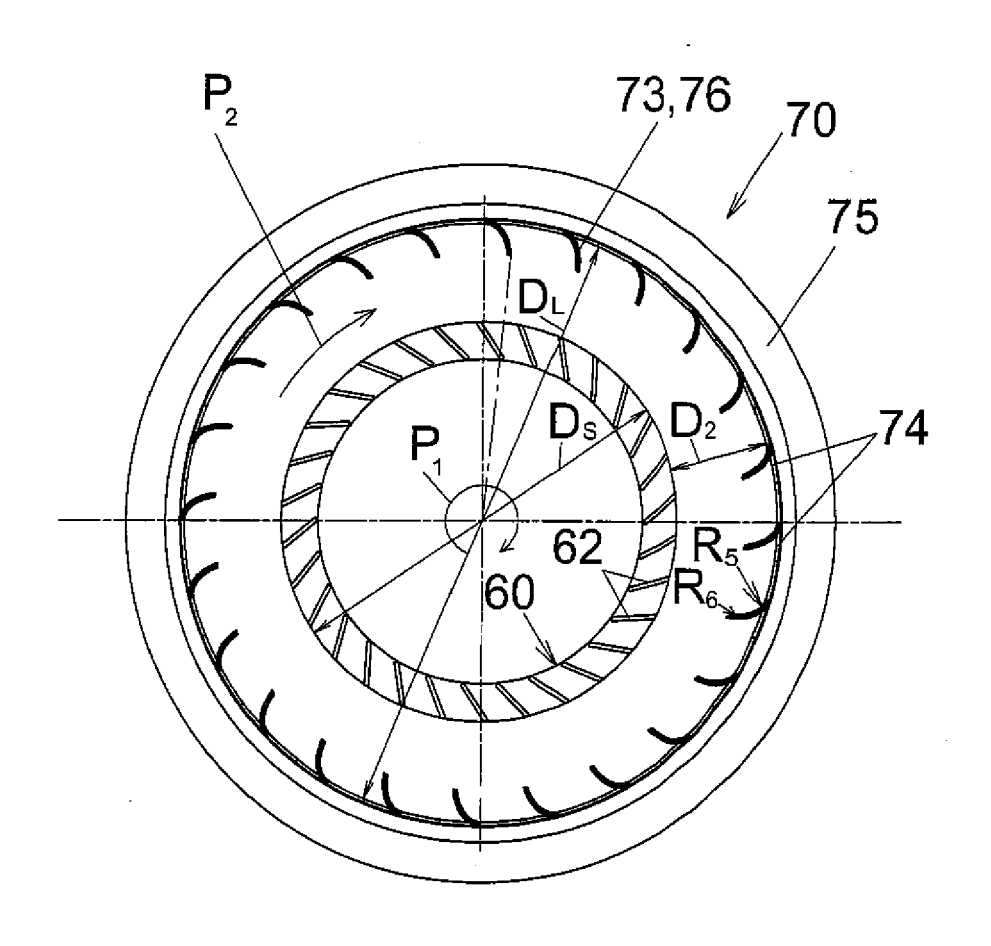


Fig. 8c

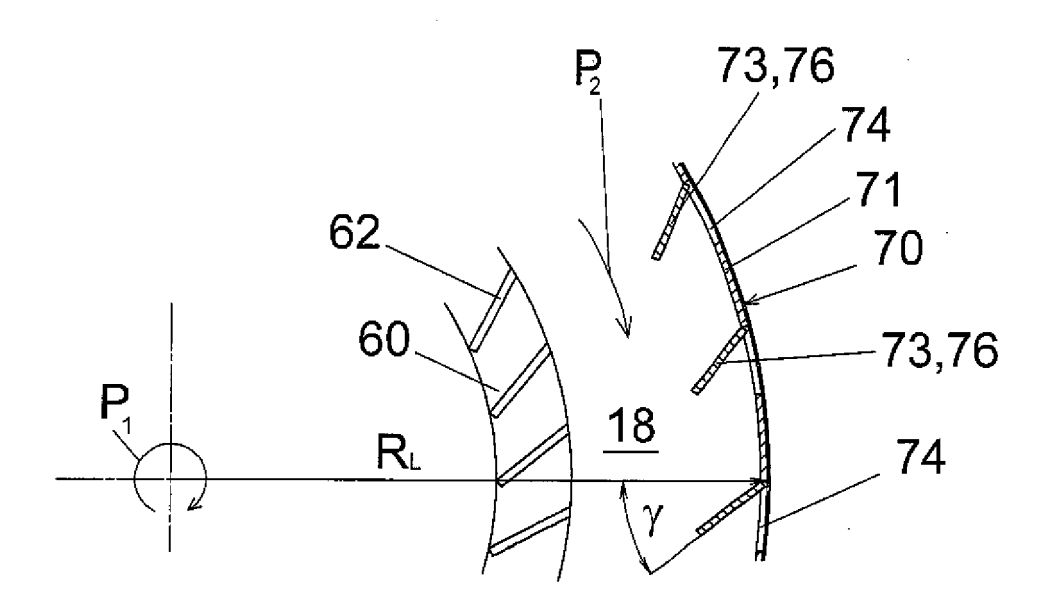


Fig. 9

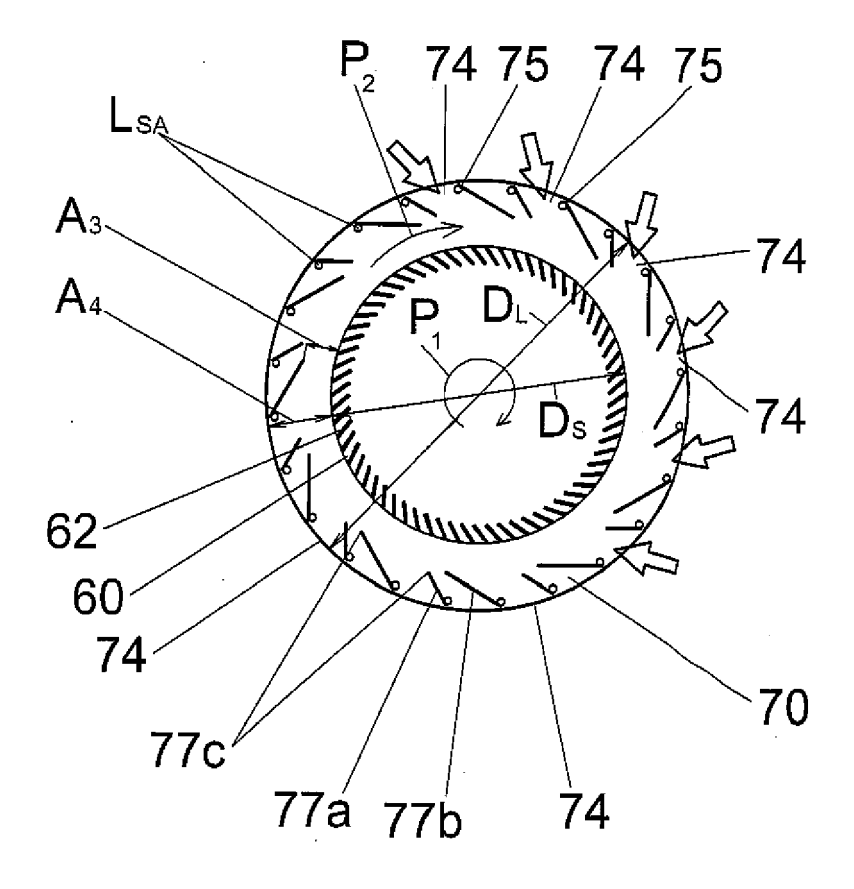


Fig. 10

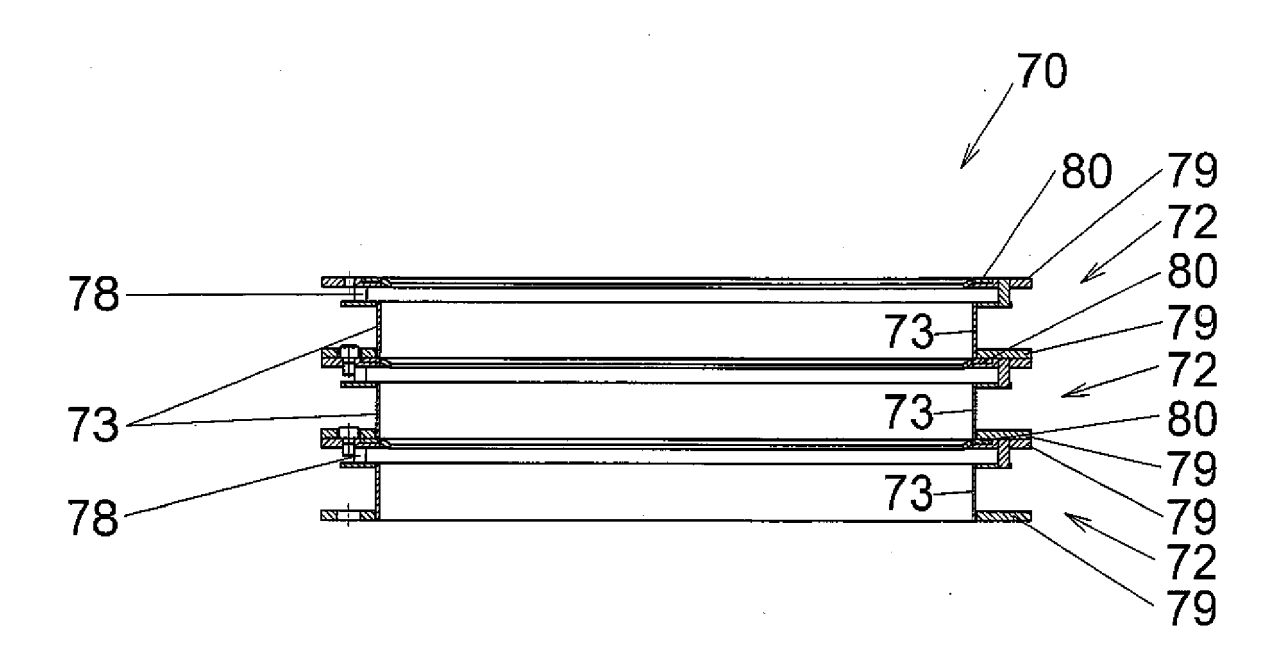
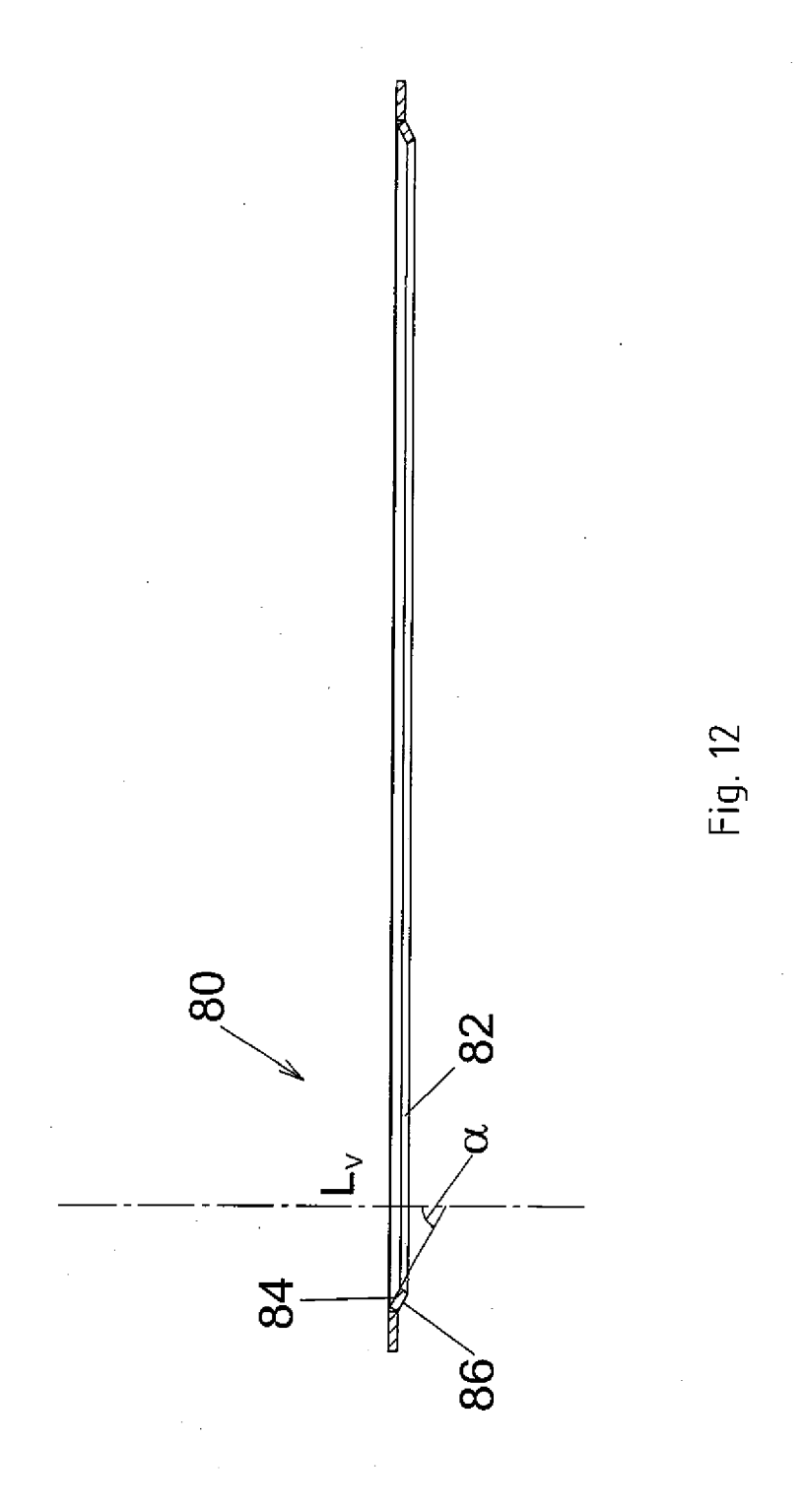


Fig. 11



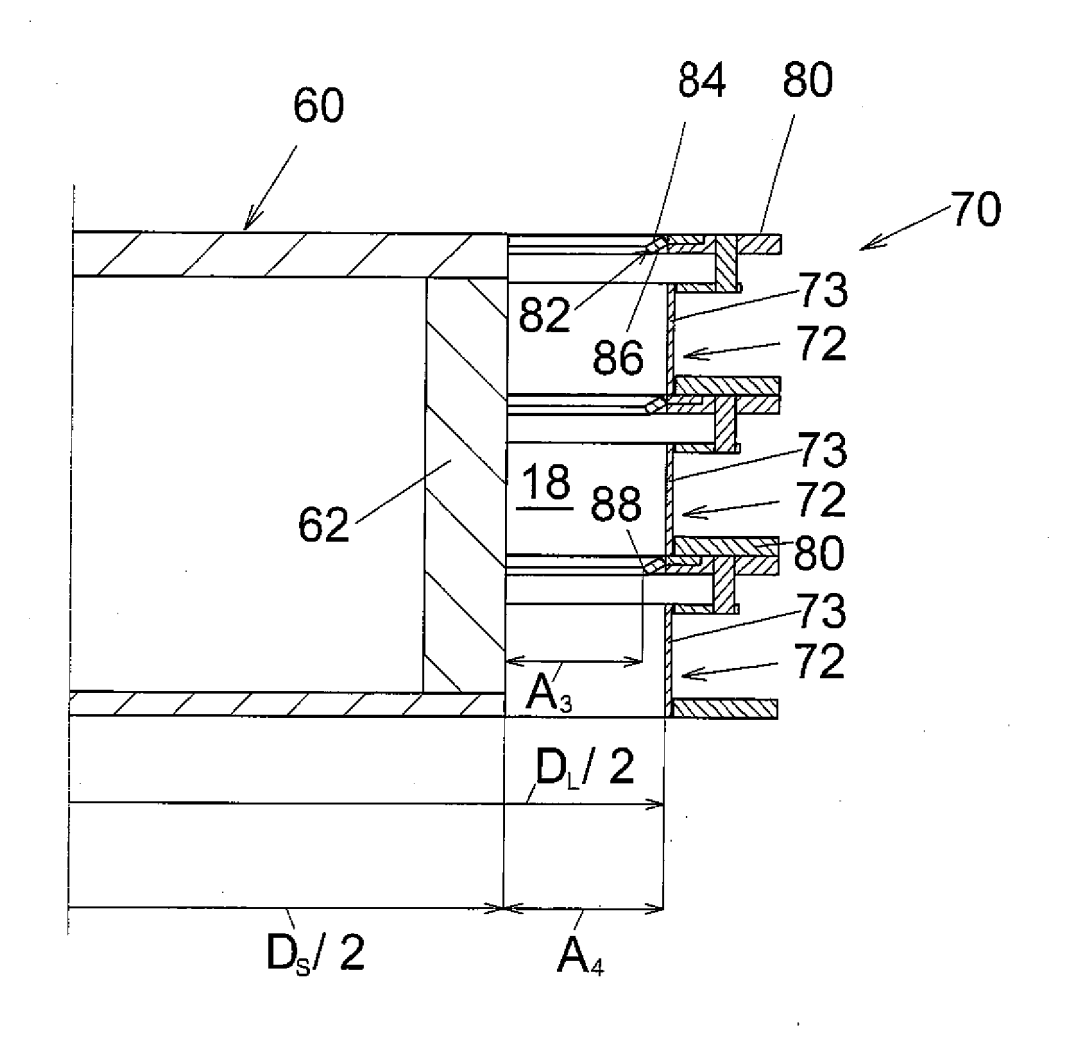
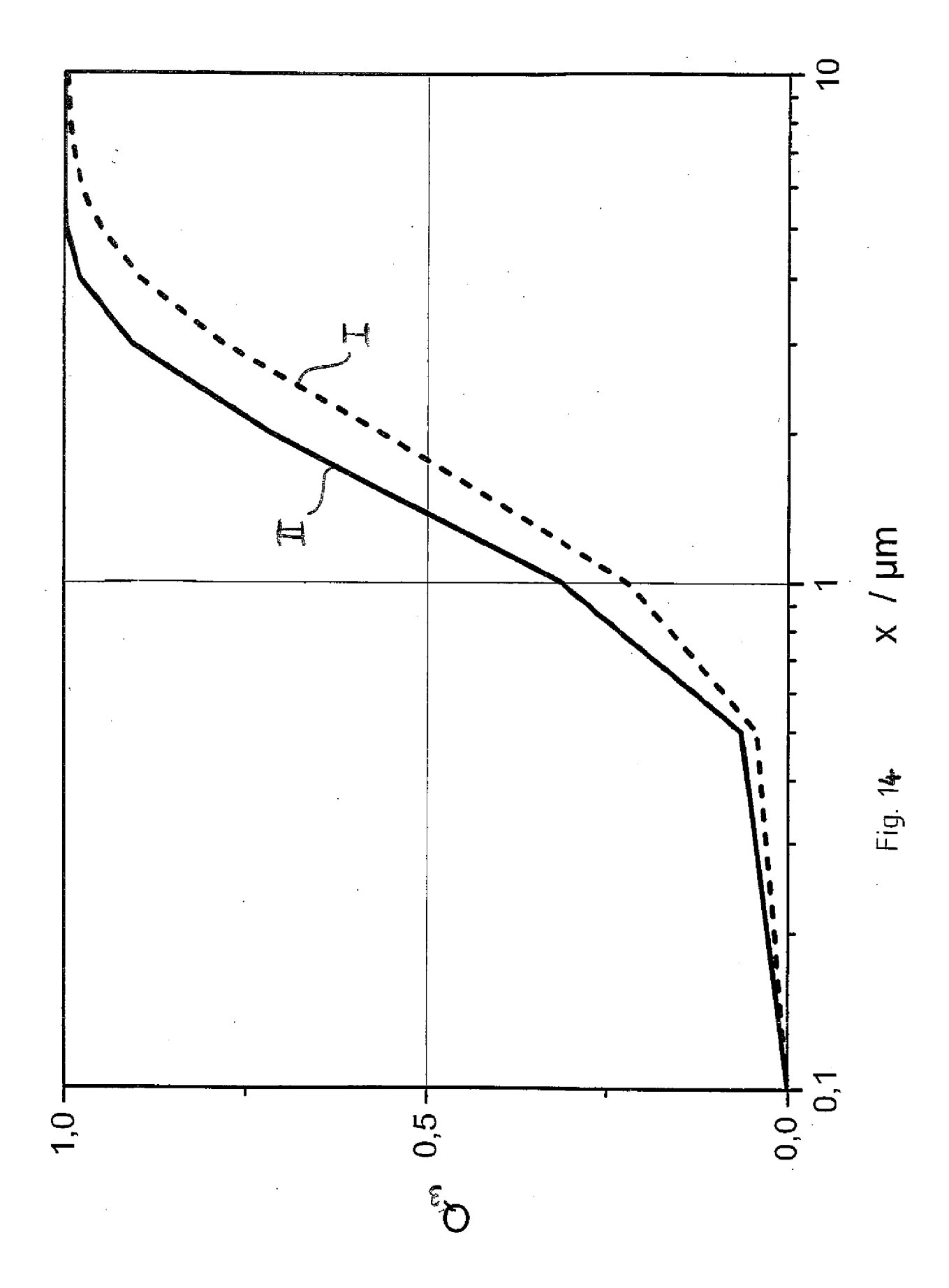


Fig. 13





## **EUROPÄISCHER RECHERCHENBERICHT**

Nummer der Anmeldung EP 18 20 3588

	EINSCHLÄGIGE	DOKUMENTE		
Kategorie	Kennzeichnung des Dokun der maßgebliche	Betrifft Anspruch	KLASSIFIKATION DER ANMELDUNG (IPC)	
X	FR 2 597 766 A1 (OM 30. Oktober 1987 (1 * Seite 1, Zeile 6 * Seite 5, Zeile 16 * Seite 7, Zeile 28 * Seite 9, Zeile 18 1-10; Abbildungen 1	INV. B07B7/083		
X Y	AL) 21. August 2001	DANG CHING-CHUNG [US] ET . (2001-08-21) 87 - Spalte 3, Zeile 61	3-6,	
A		28 - Spalte 6, Zeile 39	8-11,14 12,13,15	
	* * Spalte 8, Zeile 1			
	* Spalte 9, Zeile 1 1-25; Abbildungen 1	.4 - Zeile 64; Ansprüche 7 *		
X	EP 2 204 240 A1 (BA 7. Juli 2010 (2010- * Absatz [0022] - A * Absatz [0039] - A * Absatz [0058] - A * Absatz [0084] - A 1-8; Abbildungen 1-	1	RECHERCHIERTE SACHGEBIETE (IPC) B07B	
X	EP 0 442 788 A2 (FI 21. August 1991 (19 * Spalte 1, Zeile 4	1		
	* Spalte 4, Zeile 2 Ansprüche 1-9; Abbi			
		-/		
Der vo	rliegende Recherchenbericht wu	rde für alle Patentansprüche erstellt		
	Recherchenort	Abschlußdatum der Recherche		Prüfer
	Den Haag	29. Januar 2019	Lan	g, Xavier
X : von Y : von ande A : tech O : nich	ATEGORIE DER GENANNTEN DOKI besonderer Bedeutung allein betrach besonderer Bedeutung in Verbindung ren Veröffentlichung derselben Kateg nologischer Hintergrund tschriftliche Offenbarung schenliteratur	E : älteres Patentdok nach dem Anmelc nit einer D : in der Anmeldung porie L : aus anderen Grür	ument, das jedoc ledatum veröffen angeführtes Dol nden angeführtes	tlicht worden ist kument Dokument

Seite 1 von 2



## **EUROPÄISCHER RECHERCHENBERICHT**

Nummer der Anmeldung EP 18 20 3588

	EINSCHLÄGIGE	DOKUMENTE		
Kategorie	Kennzeichnung des Dokun der maßgebliche	nents mit Angabe, soweit erforderlich, en Teile	Betrifft Anspruch	KLASSIFIKATION DEF ANMELDUNG (IPC)
Х	21. September 1989	Ò - Spalte Ź, Zeile 44;	1,7	
Υ	[CH]) 6. November 2 * Absatz [0009] - A	ubsatz [0020] * ´ubsatz [0051]; Ansprüche	3-6,8,9, 11	
Υ	6. März 2002 (2002- * Absatz [0001] * * Absatz [0004] * * Absatz [0007] - A	ubsatz [0008] * ubsatz [0017]; Ansprüche	10,11	
Y	29. März 1995 (1995 * Seite 5, Zeile 8 * Seite 7, Zeile 11 * Seite 8, Zeile 23 * Seite 9, Zeile 18 * Seite 10, Zeile 1	- Zeile 13 * Zeile 17 * 3 - Zeile 57 * 3 - Zeile 36 * 2 - Zeile 21 * 6 - Zeile 49; Ansprüche	14	RECHERCHIERTE SACHGEBIETE (IPC
Der vo	rliegende Recherchenbericht wu Recherchenort Den Haag	rde für alle Patentansprüche erstellt  Abschlußdatum der Recherche  29. Januar 2019	Lan	Proter g, Xavier
К	ATEGORIE DER GENANNTEN DOKI		runde liegende T	heorien oder Grundsätze
Y : von ande	besonderer Bedeutung allein betrach besonderer Bedeutung in Verbindung eren Veröffentlichung derselben Kateg nologischer Hintergrund	mit einer D : in der Anmeldung porie L : aus anderen Grün	edatum veröffen angeführtes Dol den angeführtes	tlicht worden ist kument

Seite 2 von 2

## ANHANG ZUM EUROPÄISCHEN RECHERCHENBERICHT ÜBER DIE EUROPÄISCHE PATENTANMELDUNG NR.

5

10

15

20

25

30

35

40

45

50

55

EP 18 20 3588

In diesem Anhang sind die Mitglieder der Patentfamilien der im obengenannten europäischen Recherchenbericht angeführten Patentdokumente angegeben. Die Angaben über die Familienmitglieder entsprechen dem Stand der Datei des Europäischen Patentamts am Diese Angaben dienen nur zur Unterrichtung und erfolgen ohne Gewähr.

29-01-2019

	ı Recherchenberich ührtes Patentdokun		Datum der Veröffentlichung		Mitglied(er) der Patentfamilie		Datum der Veröffentlichung
FR	2597766	A1	30-10-1987	FR US	2597766 4818376		30-10-1987 04-04-1989
US	6276534	B1	21-08-2001	KEI	NE		
EP	2204240	A1	07-07-2010	AU CA CN EP JP KR TW US WO	101808753 2204240 4865865 W02009041628 20100063759 200936260	A1 A A1 B2 A1 A A	02-04-2009 02-04-2009 18-08-2010 07-07-2010 01-02-2012 27-01-2011 11-06-2010 01-09-2009 23-09-2010 02-04-2009
EP	0442788	A2	21-08-1991	AT AU CA CS DE DK EP ES FR JP PL RU SUS ZA	2062703 2658096 2575961 H04215875 165794 2036027 279035	B2 A1	15-10-1994 08-10-1992 14-08-1991 15-09-1991 27-10-1994 13-04-1995 20-02-1995 21-08-1991 16-12-1994 16-08-1991 29-01-1997 06-08-1992 28-02-1995 27-05-1998 09-06-1992 27-11-1991
DE	3808022	A1	21-09-1989	KEI	NE		
EPO FORM P04661	2659988	A1	06-11-2013	AU CA CN EP JP KR RU US ZA	2013205596 2814731 103381387 2659988 5693648 2013233544 20130123333 2013120531 2013292304 201303200	A1 A1 B2 A A A	21-11-2013 02-11-2013 06-11-2013 06-11-2013 01-04-2015 21-11-2013 12-11-2013 20-11-2014 07-11-2013 26-02-2014

Für nähere Einzelheiten zu diesem Anhang : siehe Amtsblatt des Europäischen Patentamts, Nr.12/82

Seite 1 von 2

## ANHANG ZUM EUROPÄISCHEN RECHERCHENBERICHT ÜBER DIE EUROPÄISCHE PATENTANMELDUNG NR.

5

10

15

20

25

30

35

40

45

50

55

EP 18 20 3588

In diesem Anhang sind die Mitglieder der Patentfamilien der im obengenannten europäischen Recherchenbericht angeführten Patentdokumente angegeben. Die Angaben über die Familienmitglieder entsprechen dem Stand der Datei des Europäischen Patentamts am Diese Angaben dienen nur zur Unterrichtung und erfolgen ohne Gewähr.

29-01-2019

Im Recherchenbericht angeführtes Patentdokum		Datum der Veröffentlichung		Mitglied(er) der Patentfamilie	Datum der Veröffentlichung
EP 1184090	A1	06-03-2002	AT DE EP ES US	269174 T 50006828 D1 1184090 A1 2220385 T3 2002033357 A1	15-07-2004 22-07-2004 06-03-2002 16-12-2004 21-03-2002
EP 0645196	A1	29-03-1995	AU CA EP KR TW US WO	673059 B2 679886 B2 2134456 A1 0645196 A1 0186059 B1 257696 B 5533629 A 9422599 A1	24-10-1996 10-07-1997 13-10-1994 29-03-1995 15-04-1999 21-09-1995 09-07-1996 13-10-1994
				J42233 A1	

Für nähere Einzelheiten zu diesem Anhang : siehe Amtsblatt des Europäischen Patentamts, Nr.12/82

Seite 2 von 2

## EP 3 461 565 A1

### IN DER BESCHREIBUNG AUFGEFÜHRTE DOKUMENTE

Diese Liste der vom Anmelder aufgeführten Dokumente wurde ausschließlich zur Information des Lesers aufgenommen und ist nicht Bestandteil des europäischen Patentdokumentes. Sie wurde mit größter Sorgfalt zusammengestellt; das EPA übernimmt jedoch keinerlei Haftung für etwaige Fehler oder Auslassungen.

## In der Beschreibung aufgeführte Patentdokumente

- DE 3823380 C2 [0002]
- DE 4302857 A1 [0005]
- WO 2014124899 A1 [0006]

- DE 19961837 A1 [0007]
- EP 1529568 B1 [0008]

## In der Beschreibung aufgeführte Nicht-Patentliteratur

 GIERSEMEHL; PLIHAL. Fine Grinding System with Impact Classifier Mill and Cyclone Classifier. Power Handling and Processing, Juli 1999, vol. 11 (3 [0089]